

Course de robots dans un fluide visqueux

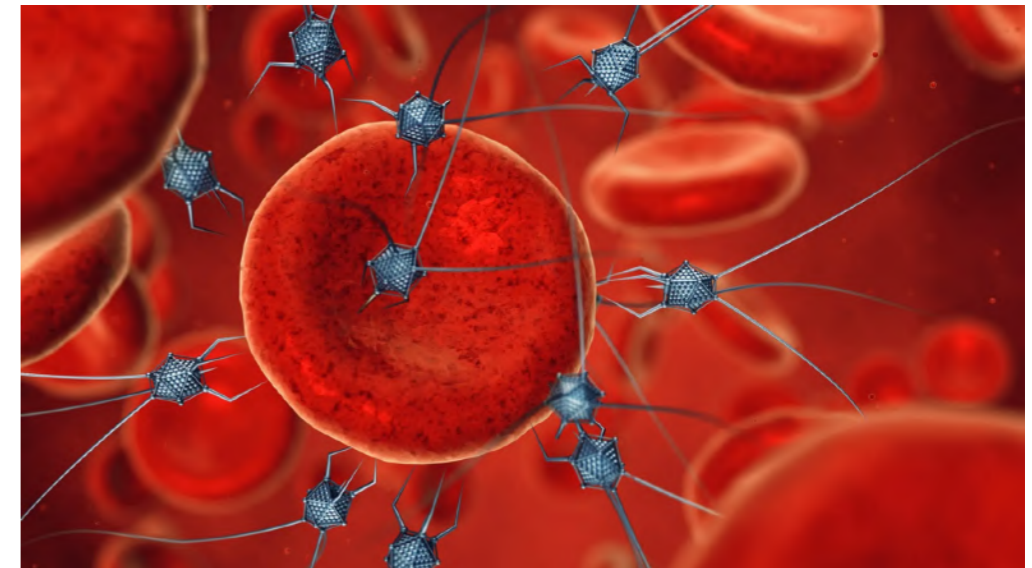
Mise en contexte

Besoins

- Besoin de traitements spécifiques chez les sportifs
- Substances à administrer dans des zones précises du corps
- Utilisation de nanorobots

Exemples de traitements

- Traitement d'une inflammation
- Administration de compléments nutritionnels ciblés
- Traitement des microdéchirures musculaires



Source: iatranshumanisme.com

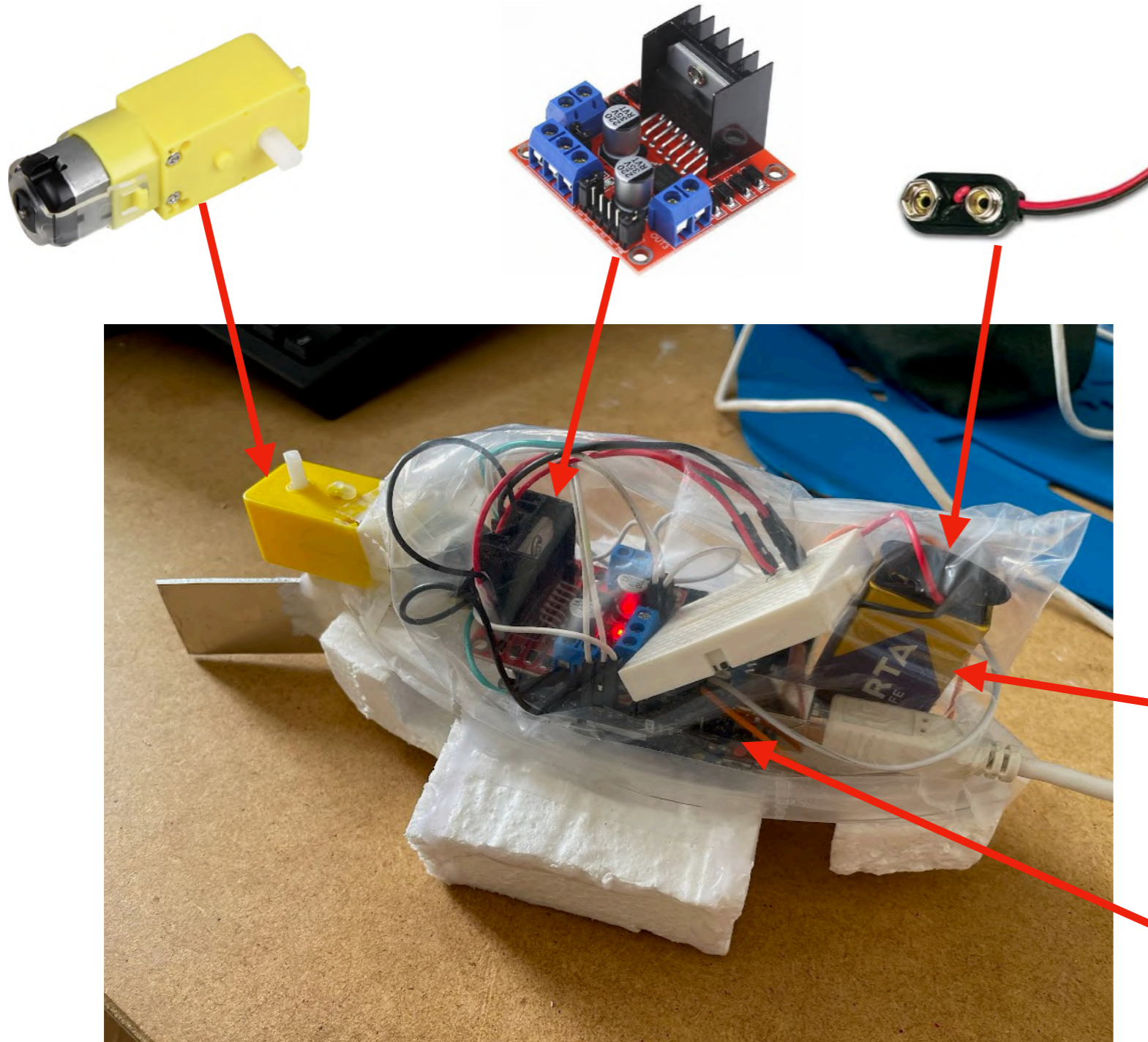
Problème : le sang est visqueux à l'échelle d'un nanorobot

Comment concevoir un robot capable de progresser dans un fluide visqueux ?

Plan

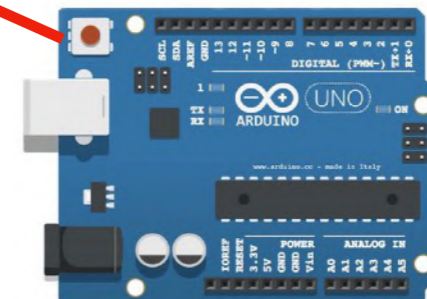
- 1. Introduction et contexte**
- 2. Difficulté du déplacement**
- 3. Explication théorique**
- 4. Fabrication des robots**
- 5. Conclusion**

Robot 1 - Le bateau poisson



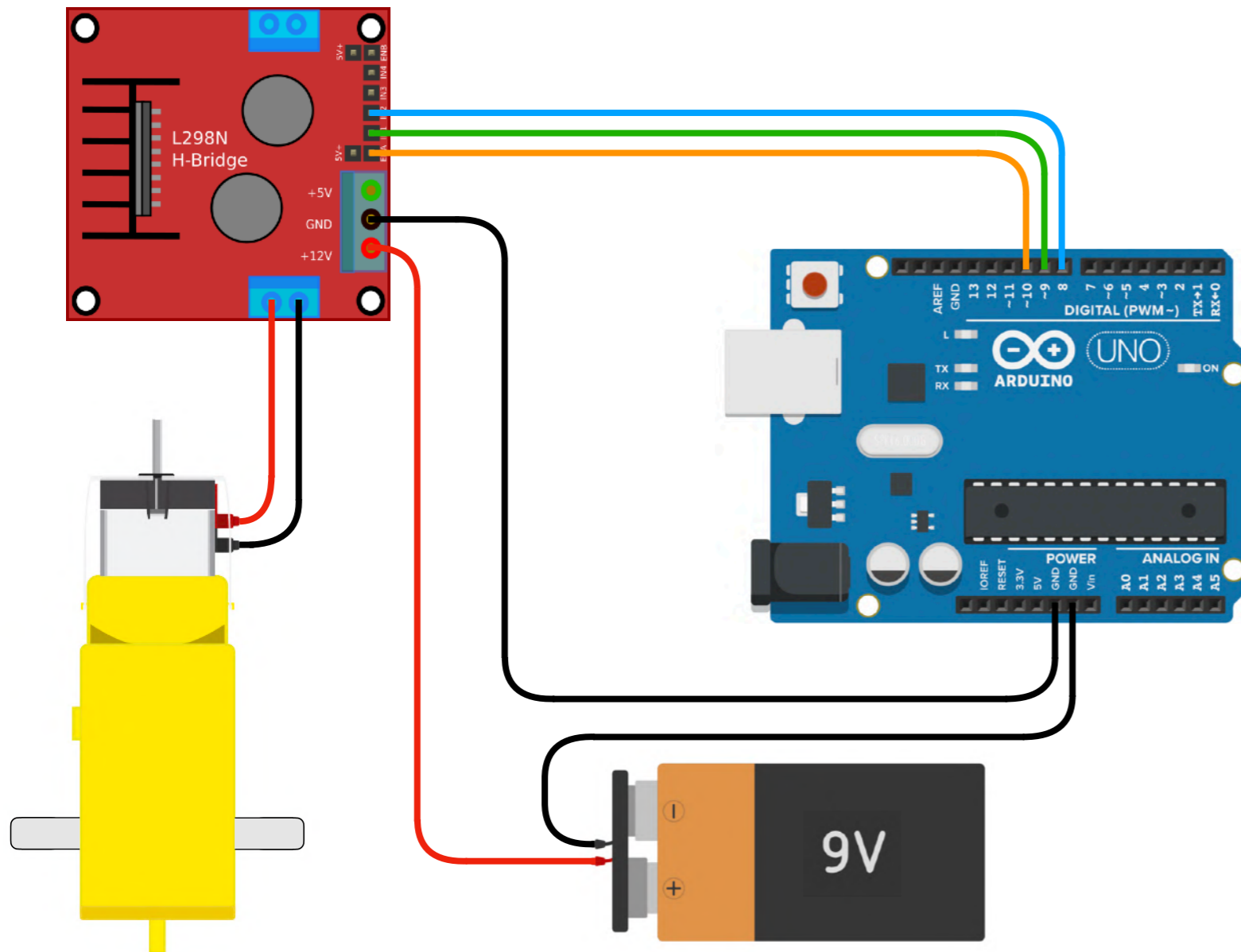
Fiche technique

- masse : $m = 245 \text{ g}$
- coque en plastique
- flotteurs en polystyrène
- étanche
- utilisation de Arduino
- taille caractéristique :
 $L = 10 \text{ cm}$ (largeur)



Robot 1 - Le bateau poisson

Schéma du montage Arduino



Fabrication du robot

Robot 1 - Le bateau poisson

Eau



- Progression sans difficulté
- Vitesse moyenne : $v = 0,05 \text{ m/s} = 5 \text{ cm/s}$
- Nombre de Reynolds : $Re \approx 5000$

Liquide vaisselle



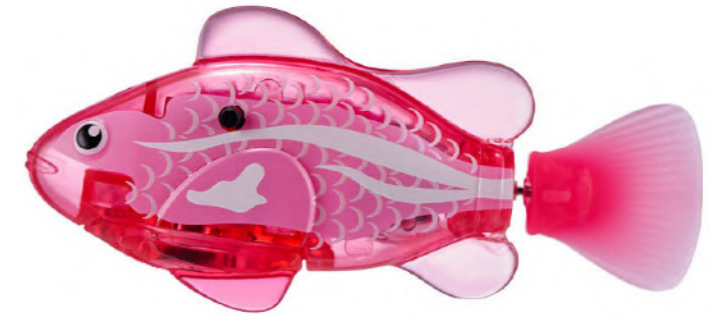
- Oscillations sur place
- Vitesse moyenne nulle

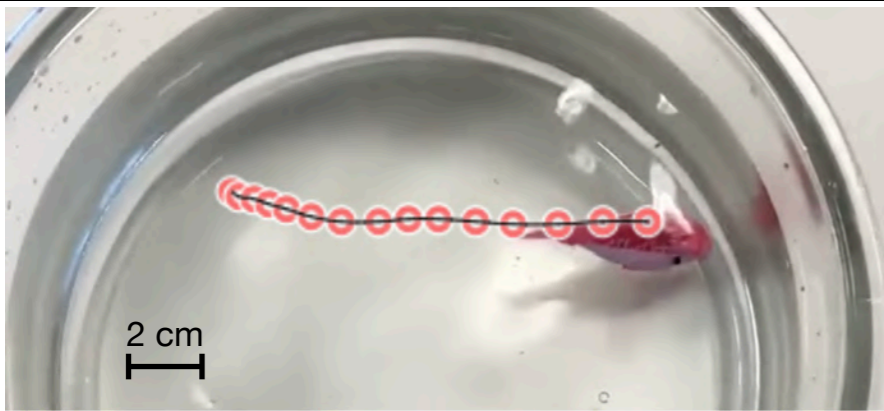
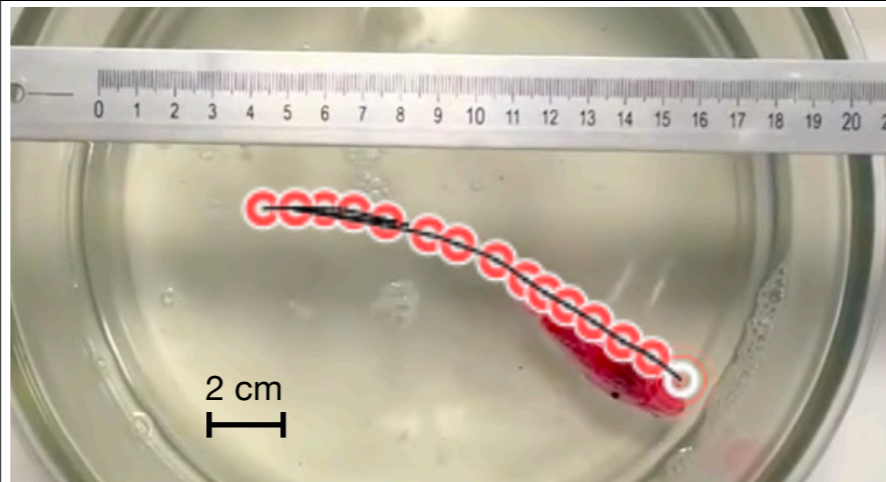
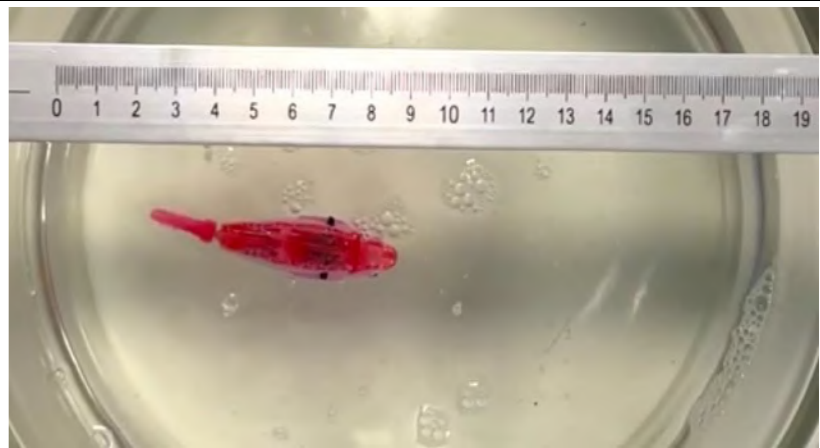
Aucun déplacement dans le liquide vaisselle

Mise en évidence

Expérience : Poisson robotisé RoboFish

Chronophotographie du déplacement dans différentes conditions



Eau	Liquide vaisselle avec nageoire souple	Liquide vaisselle avec nageoire rigidifiée
		 <p data-bbox="1961 1222 2593 1283">Oscillations « sur place »</p>
<p data-bbox="68 1318 658 1369">Durée de l'acquisition : 2 s</p> <p data-bbox="68 1385 919 1436">Vitesse moyenne : 0,11 m/s = 0,4 km/h</p> <p data-bbox="68 1453 795 1504">Nombre de Reynolds : $Re = 2200$</p>	<p data-bbox="965 1318 1715 1369">Durée de l'acquisition : 2 min 30 s</p> <p data-bbox="965 1385 1811 1436">Vitesse moyenne : 0,8 mm/s = 2,9 m/h</p> <p data-bbox="965 1453 1687 1504">Nombre de Reynolds : $Re = 0,04$</p>	<p data-bbox="1868 1318 2359 1369">Vitesse moyenne nulle</p> <p data-bbox="1868 1385 2524 1436">Nombre de Reynolds : $Re \rightarrow 0$</p>

Le poisson avance dans le liquide vaisselle et oscille sur place si on rigidifie sa nageoire

Théorème de la coquille Saint-Jacques et mouvements réciproques

Mouvement réciproque :

- Simple
- Un seul degré de liberté
- Retour à la position initiale par le mouvement opposé

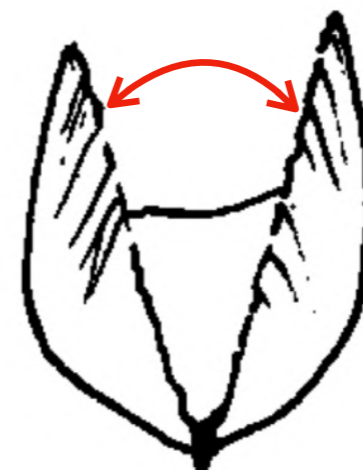
Théorème de la coquille Saint-Jacques (1977)

Un mouvement réciproque n'induit aucun déplacement net dans un fluide visqueux ($Re < 2000$)

Exemple de mouvement réciproque



Edward Mills Purcell

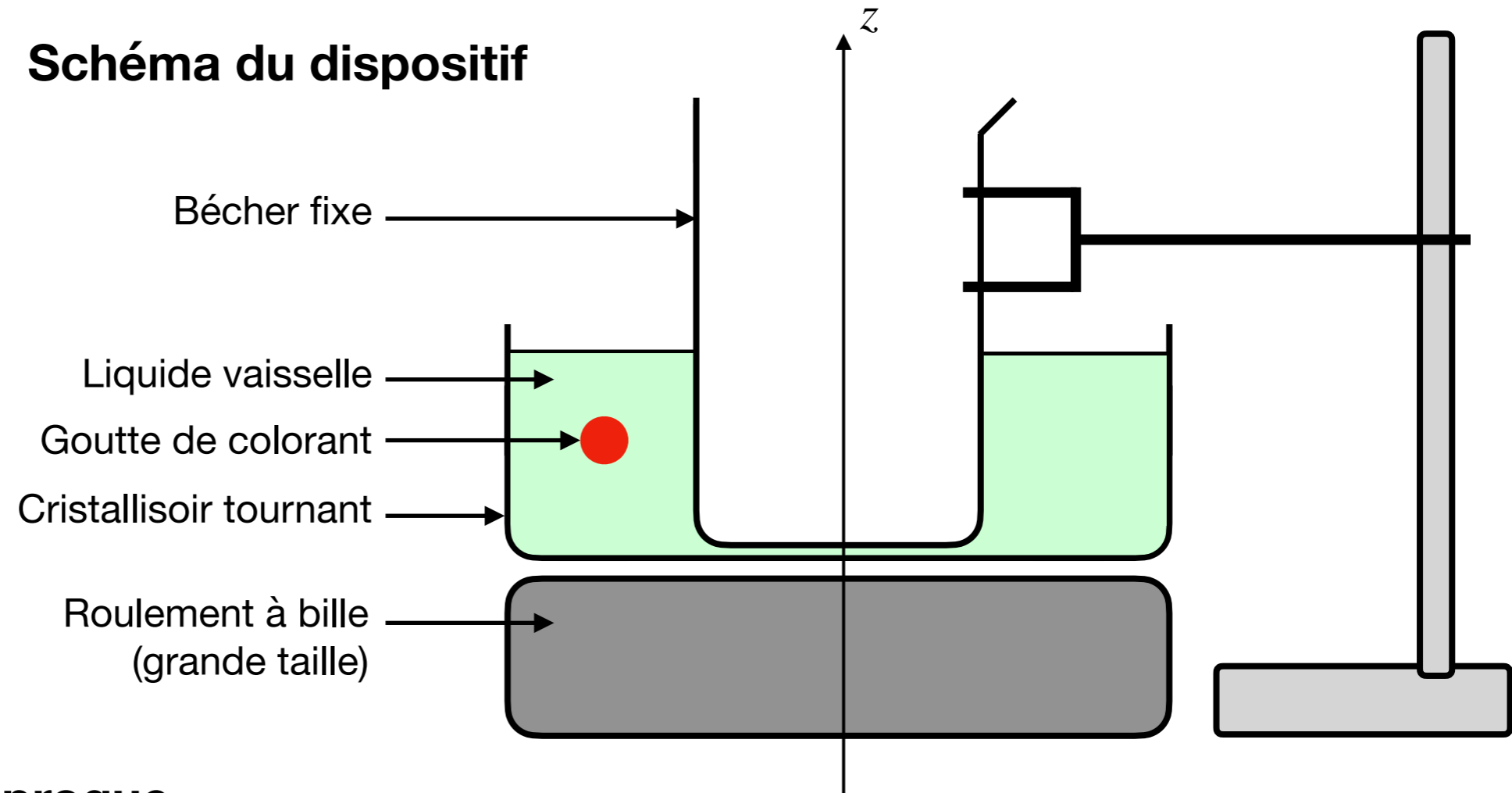


Mise en évidence

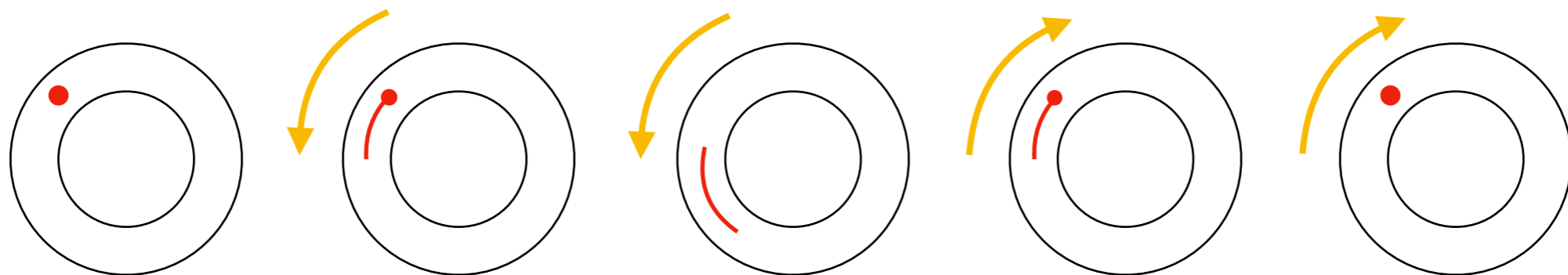
Expérience : Écoulement de Couette cylindrique



Schéma du dispositif

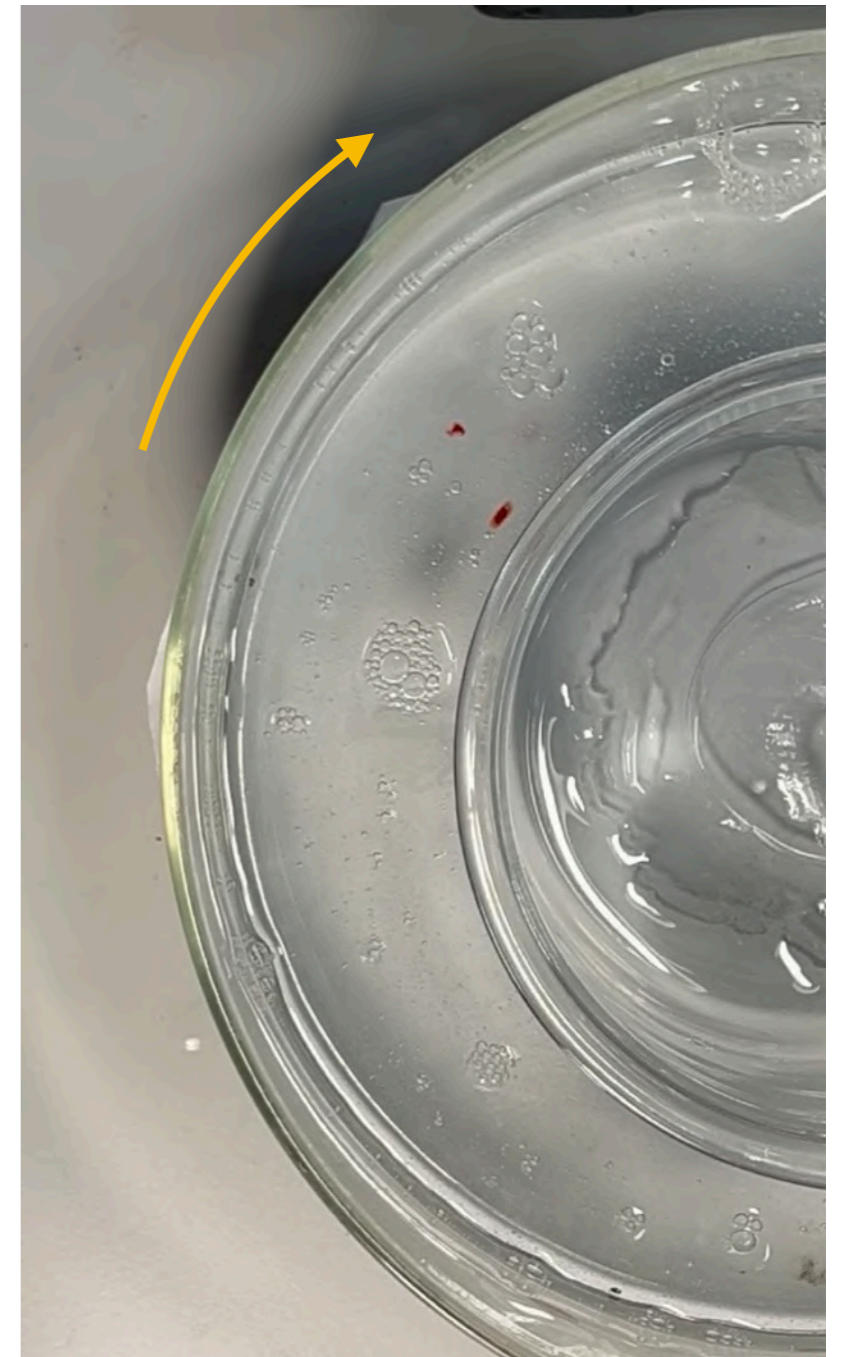


Mouvement réciproque



Mise en évidence

Expérience : Écoulement de Couette cylindrique



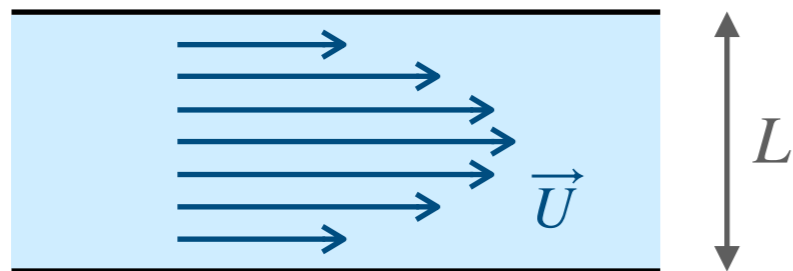
La goutte se reforme et retrouve sa position initiale

Nombre de Reynolds et viscosimètre à bille

Nombre de Reynolds

$$Re = \frac{\rho_f U L}{\eta}$$

η : viscosité dynamique du fluide ($Pl = Pa \cdot s$)
 ρ_f : masse volumique du fluide (m^3/s)



- Intérêt des écoulements similaires

Formule de Stokes : trainée pour un écoulement laminaire

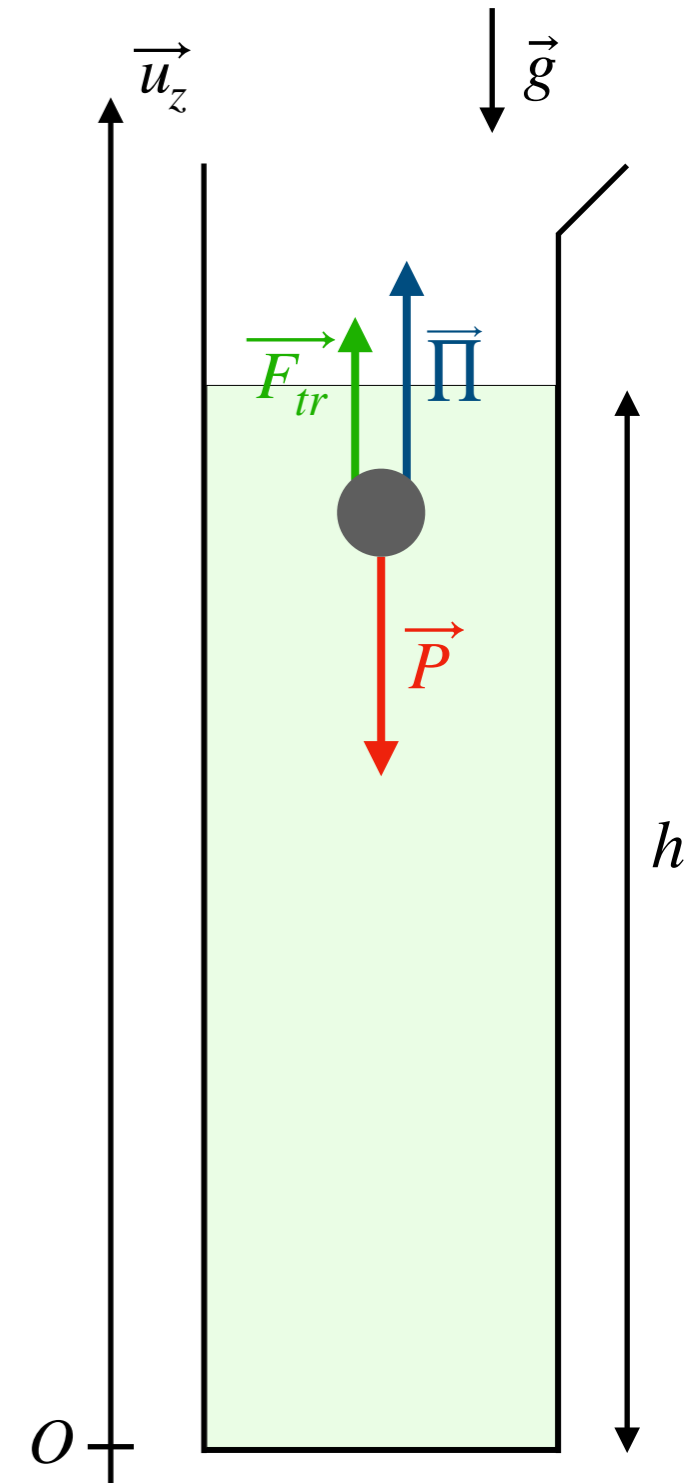
$$\vec{F}_{tr} = -6\pi\eta r \vec{v}_\infty$$

η : viscosité dynamique du fluide
 r : rayon de la bille

Expression de la viscosité dynamique η :

$$\eta = \frac{(m - \rho_f V_b) g}{6\pi r v_\infty} = \frac{2(\rho_b - \rho_f) r^2 g}{9 v_\infty}$$

ρ_b : masse volumique de la bille



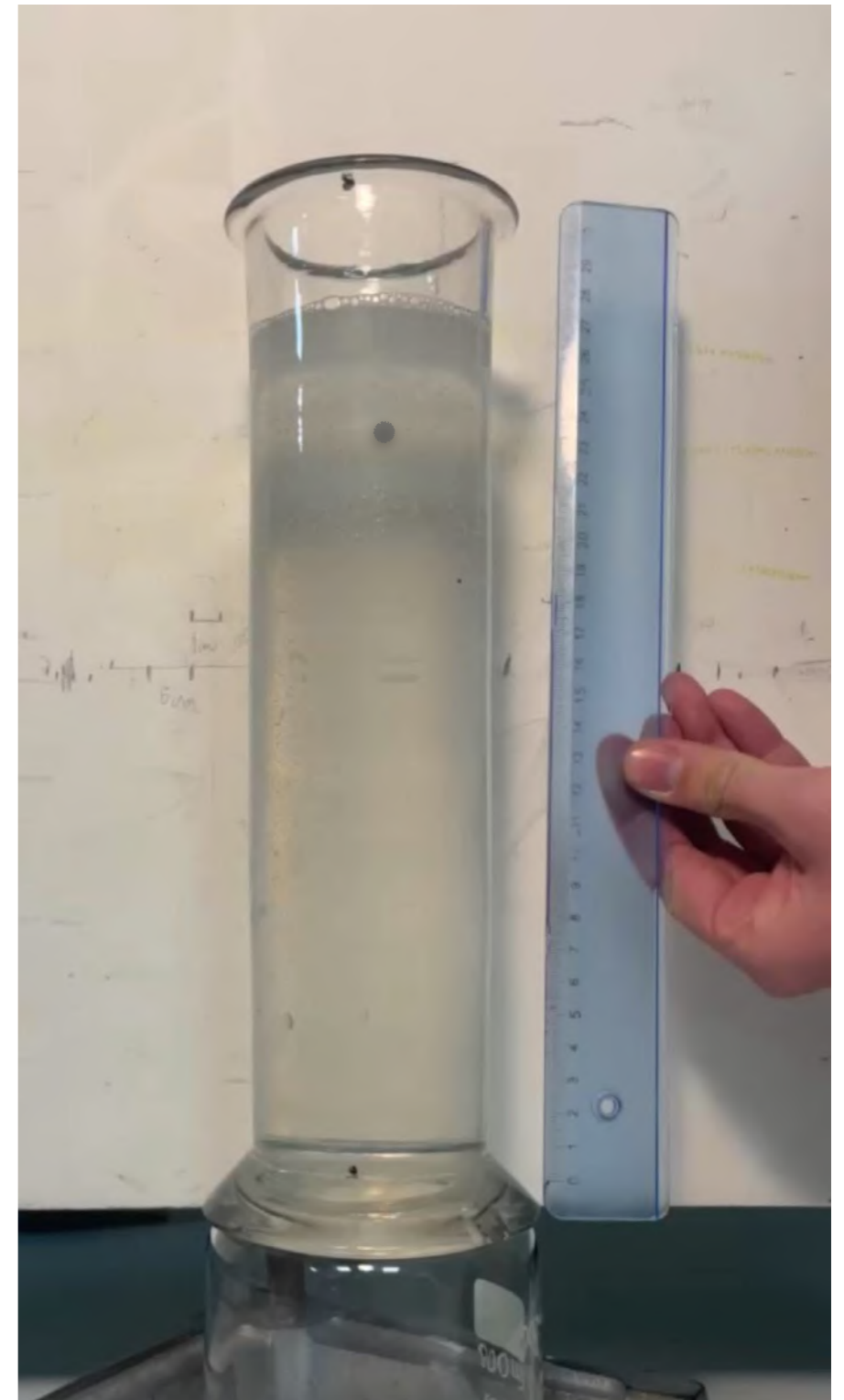
Viscosimètre à chute de bille - Expérimentation

Protocole :

- mesure de m et de r
- calcul de p_b et p_f
- pointage vidéo pour obtenir v_∞
- calcul de la viscosité η

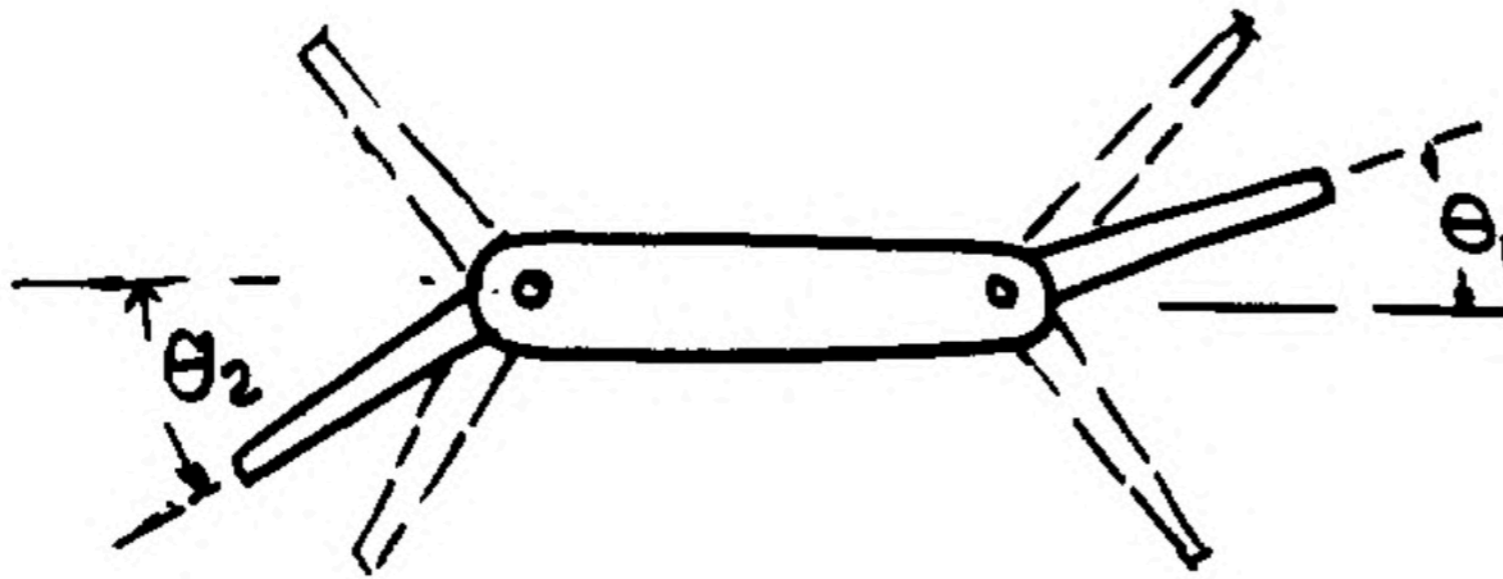
Résultats pour ma bille et le liquide vaisselle

- rayon $r = 4,10 \pm 0,03 \text{ mm}$
- masse de 100 billes $M = 16,60 \pm 0,06 \text{ g}$
- masse d'une bille $m = 0,170 \pm 0,006 \text{ g}$
- vitesse $v_\infty = 20,40 \pm 1,68 \text{ mm/s}$
- **viscosité dynamique mesurée** $\eta = 0,29 \pm 0,03 \text{ Pl}$
- **valeur théorique tabulée** $\eta = 0,4 \text{ Pl}$



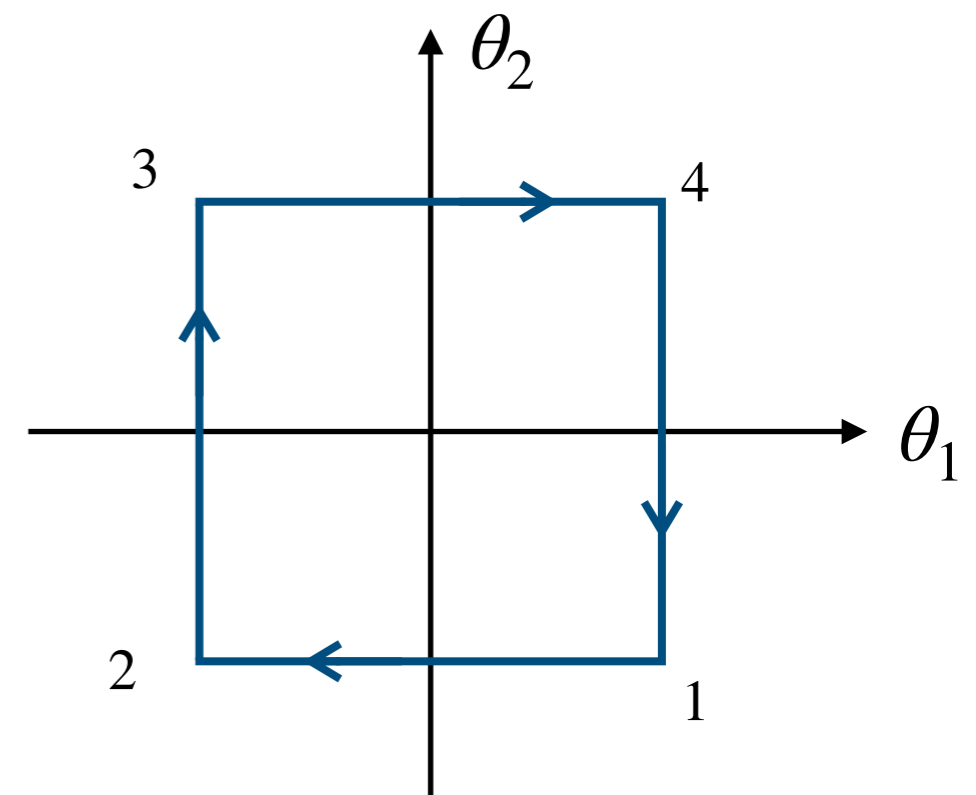
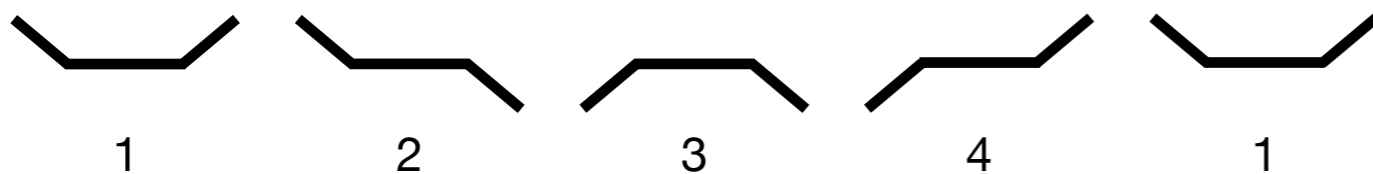
Robot 2 - Nageur à palettes

Principe du modèle de Purcell

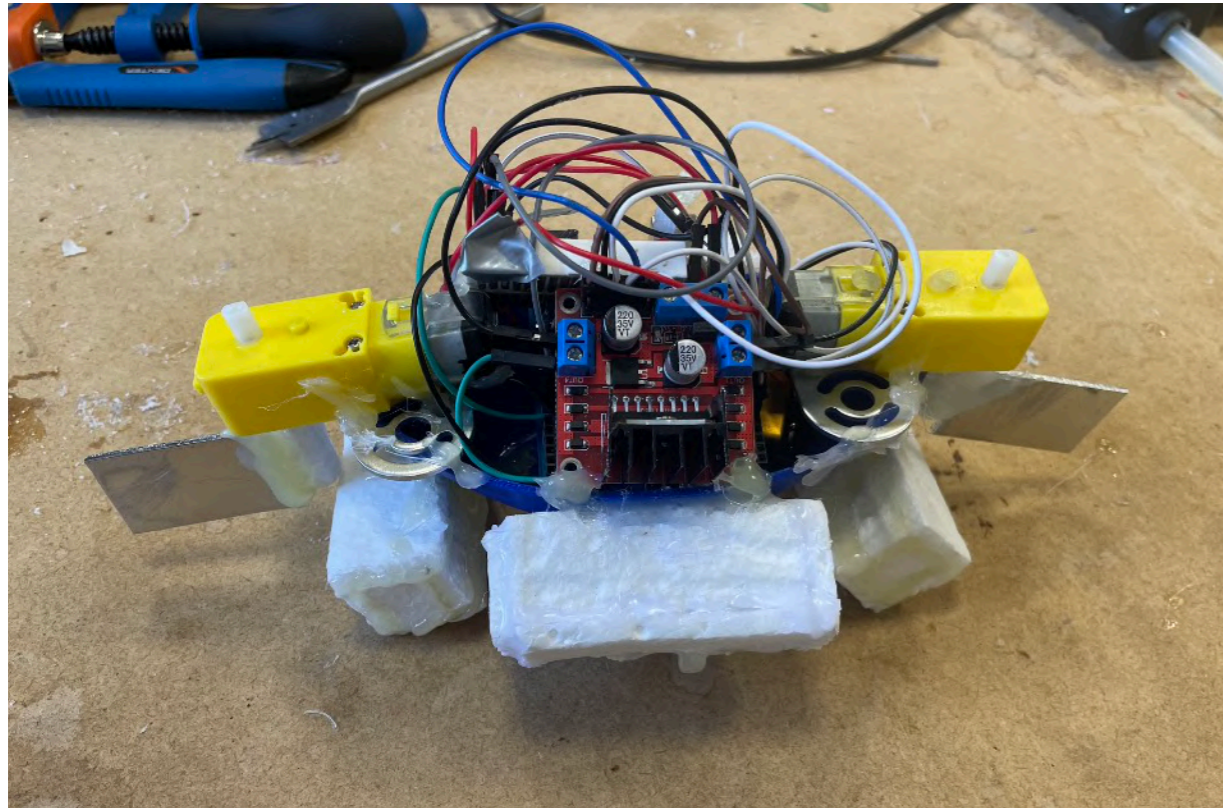


Dessin de Edward Mills Purcell tiré de sa publication *Life at Low Reynolds Number*

Mouvement cyclique :

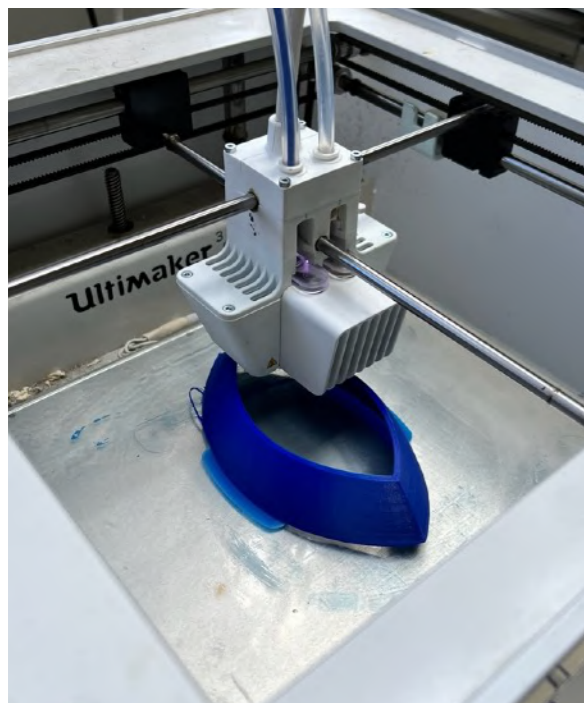


Robot 2 - Nageur à palettes

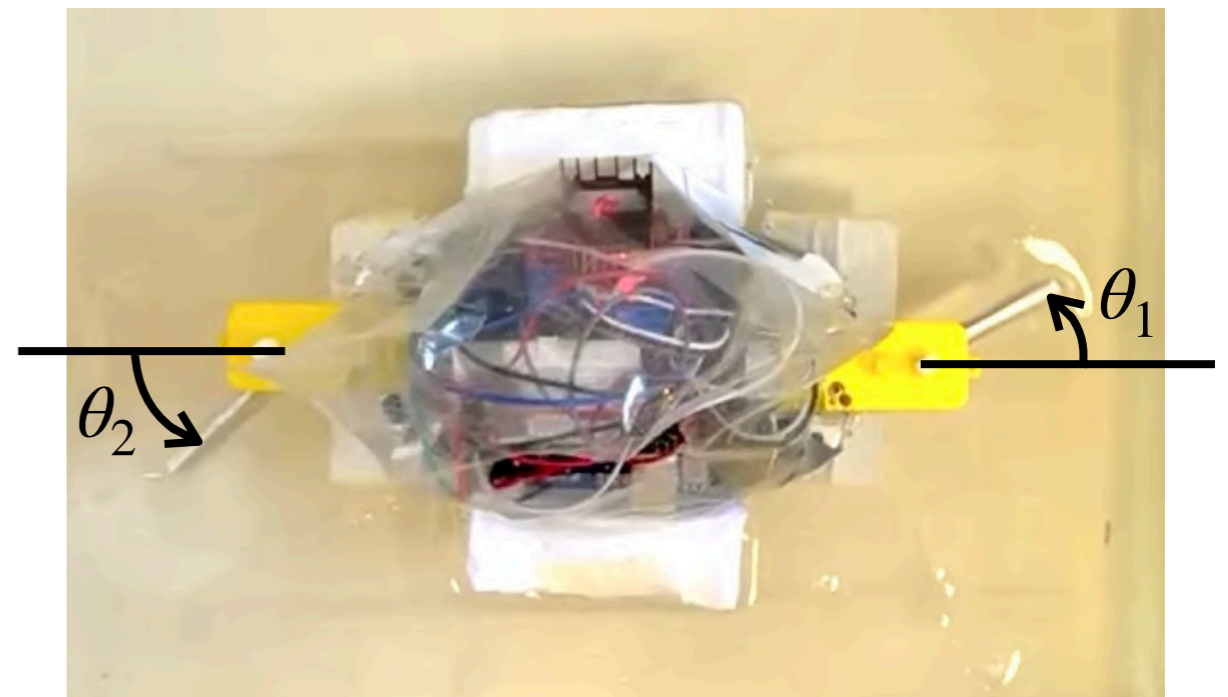


Fiche technique

- Masse : $m = 270 \text{ g}$
- Coque conçue sur onshape.com et imprimée en 3D
- Flotteurs en polystyrène
- Étanche
- Utilisation de Arduino
- Taille caractéristique :
 $L = 12 \text{ cm}$ (largeur)

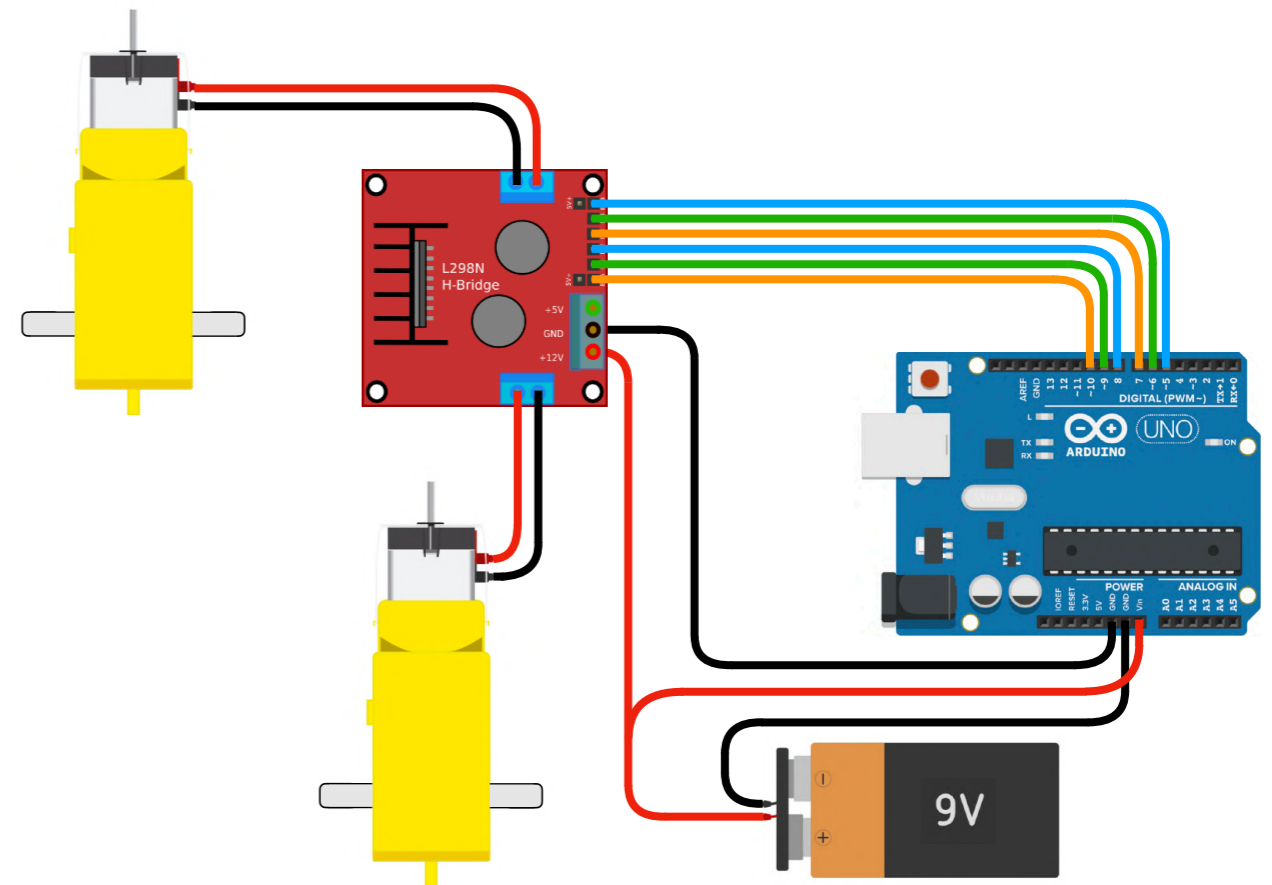
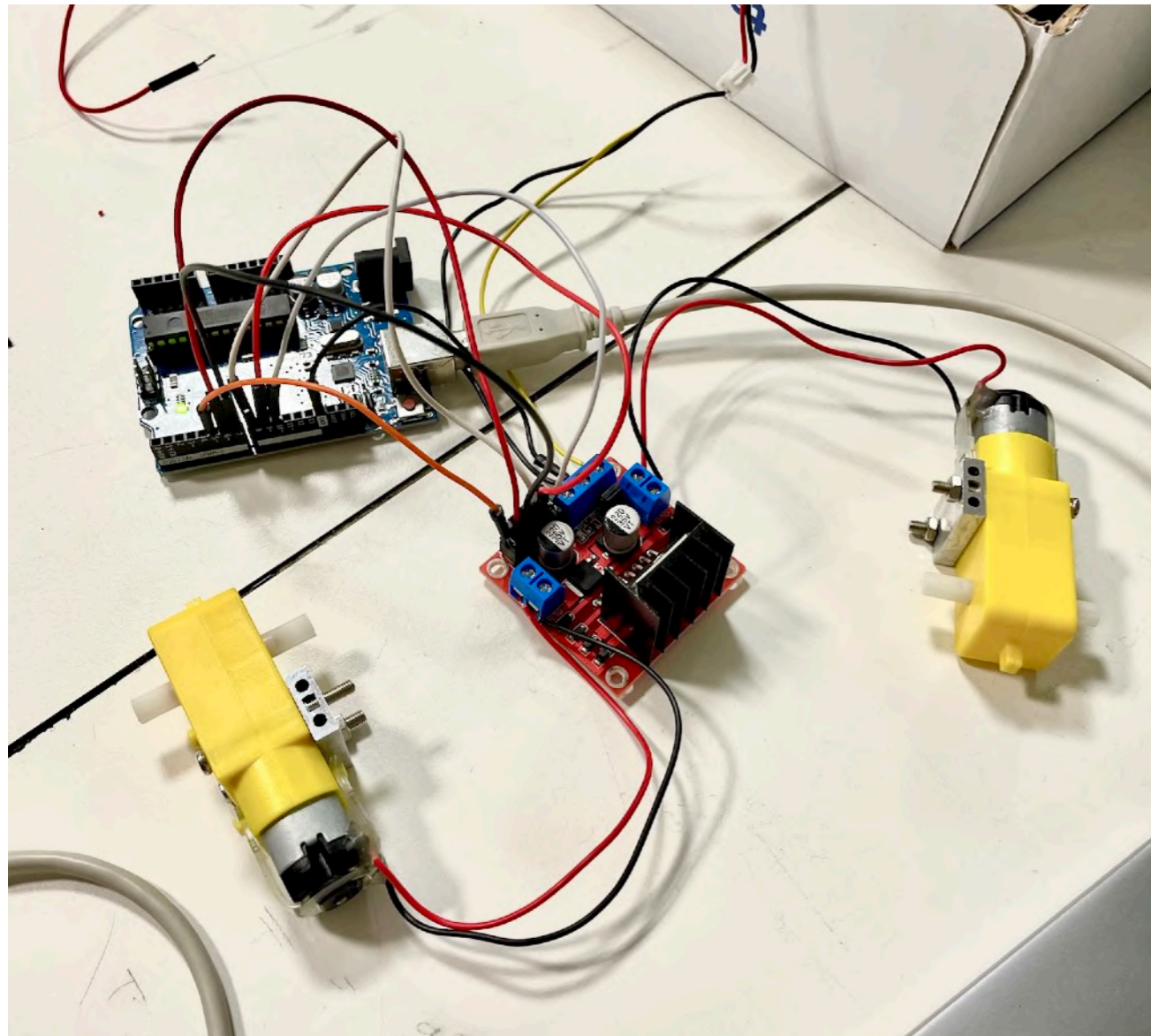


Impression de la coque du bateau en 3D

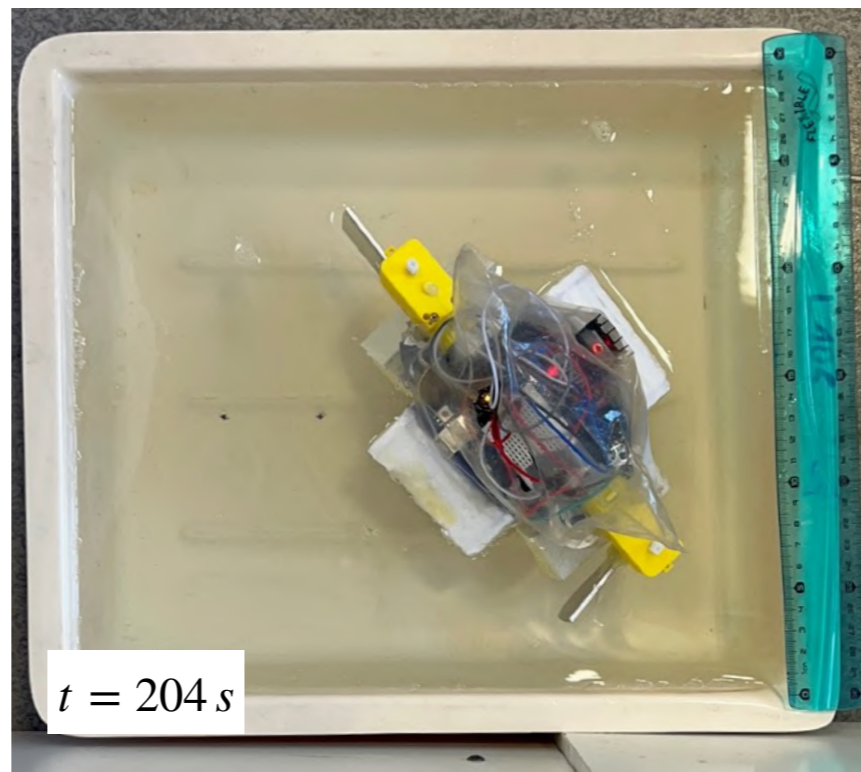
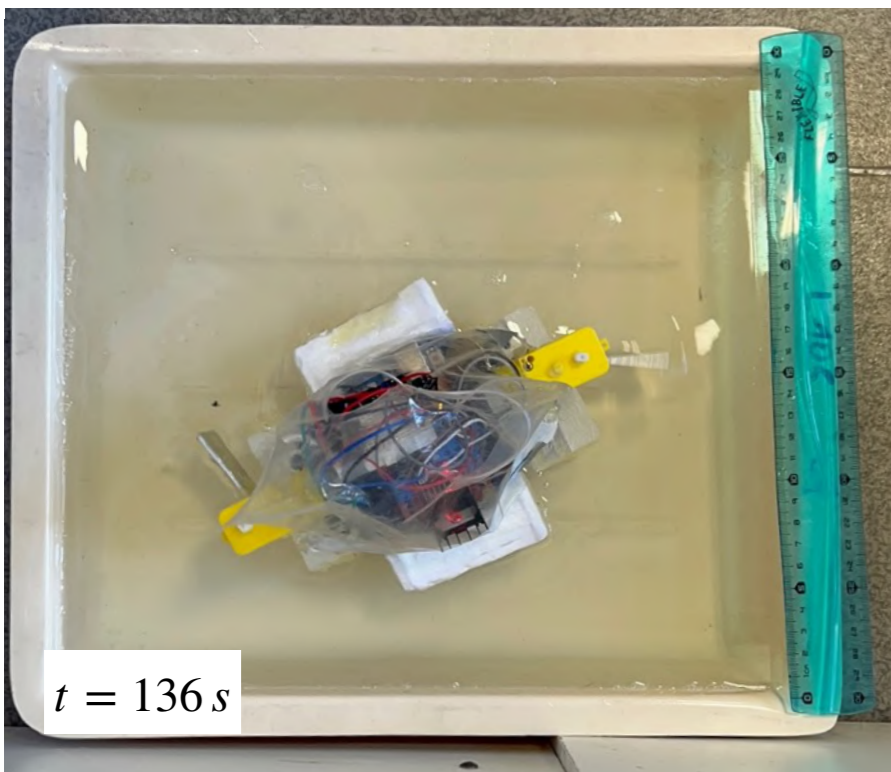
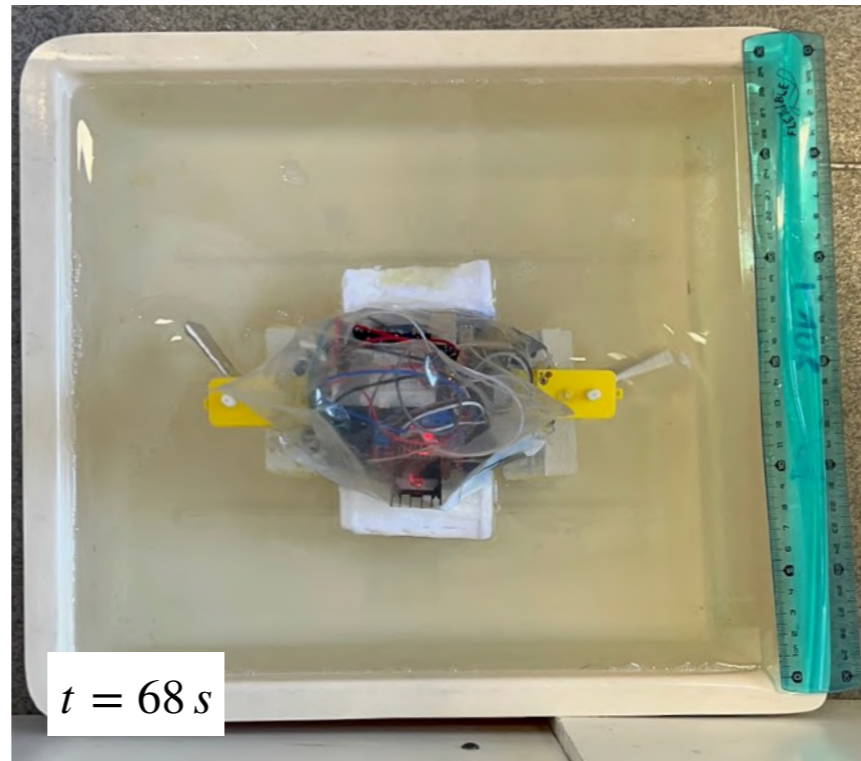
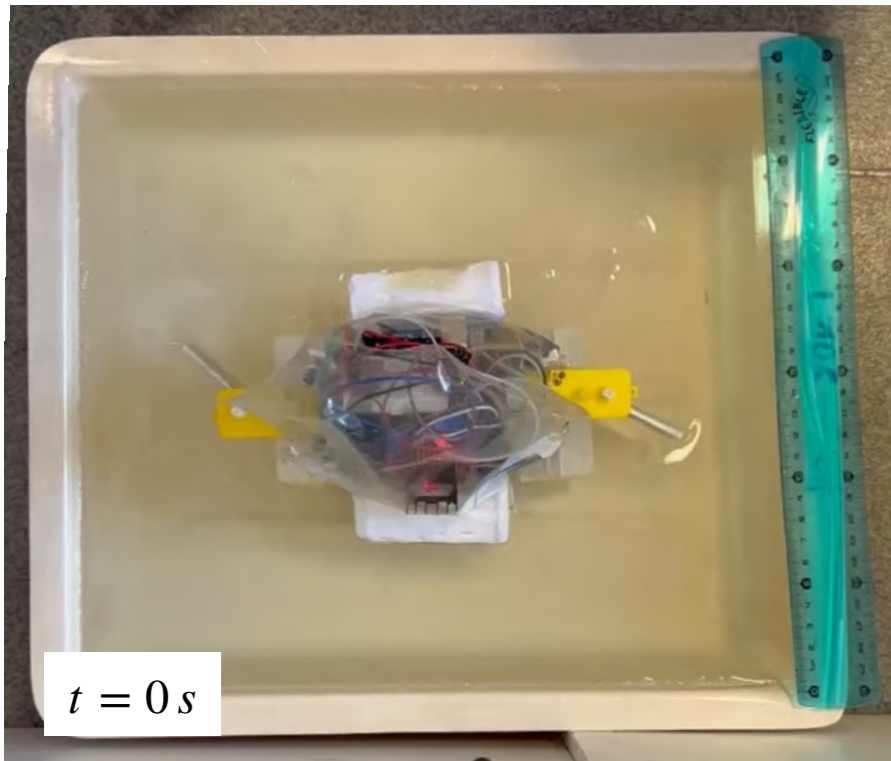


Robot 2 - Nageur à palettes

Schéma du montage Arduino



Robot 2 - Nageur à palettes

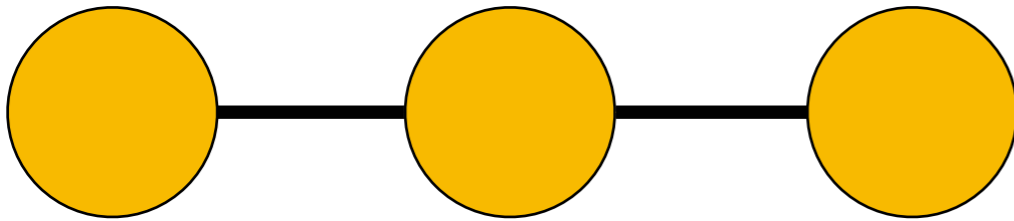


Observation expérimentale :

- Progression légère
- Rotations
- Essai avec de nombreux réglages différents
- **Mouvement imprévisible**
- **Pas de translation**

Robot 3 - Nageur de Najafi et Golestanian

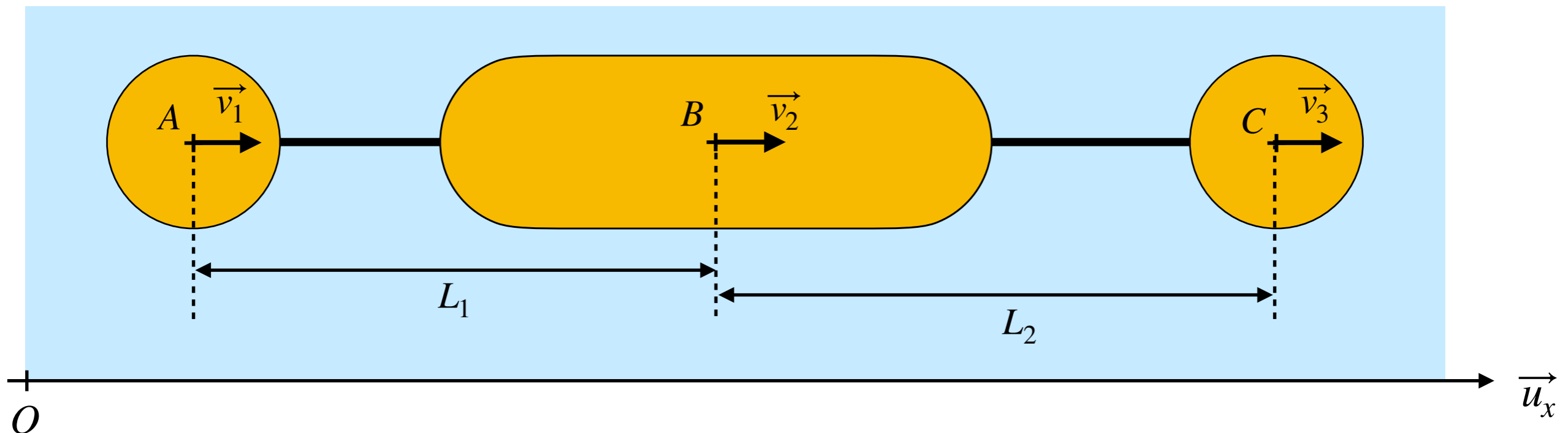
Principe



- 3 boules
- Boules extérieures en translation par rapport à la boule centrale
- Repose sur la force de trainée de Stokes

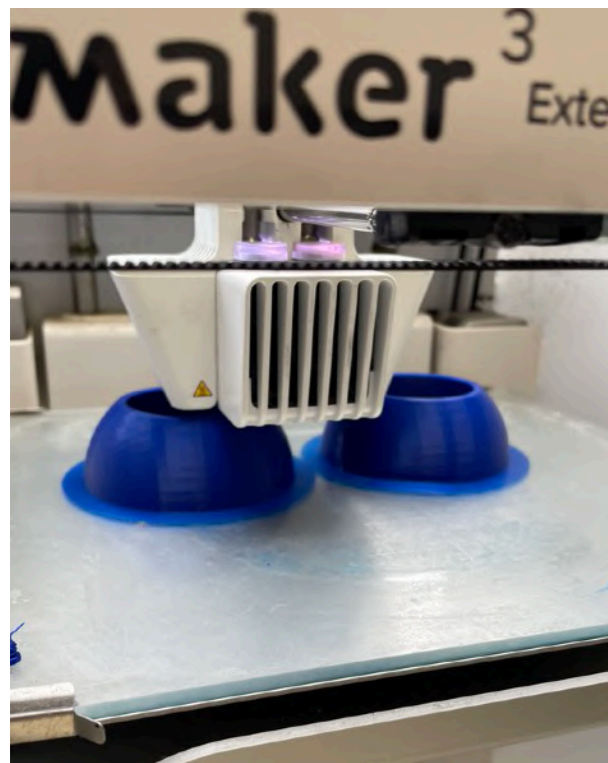
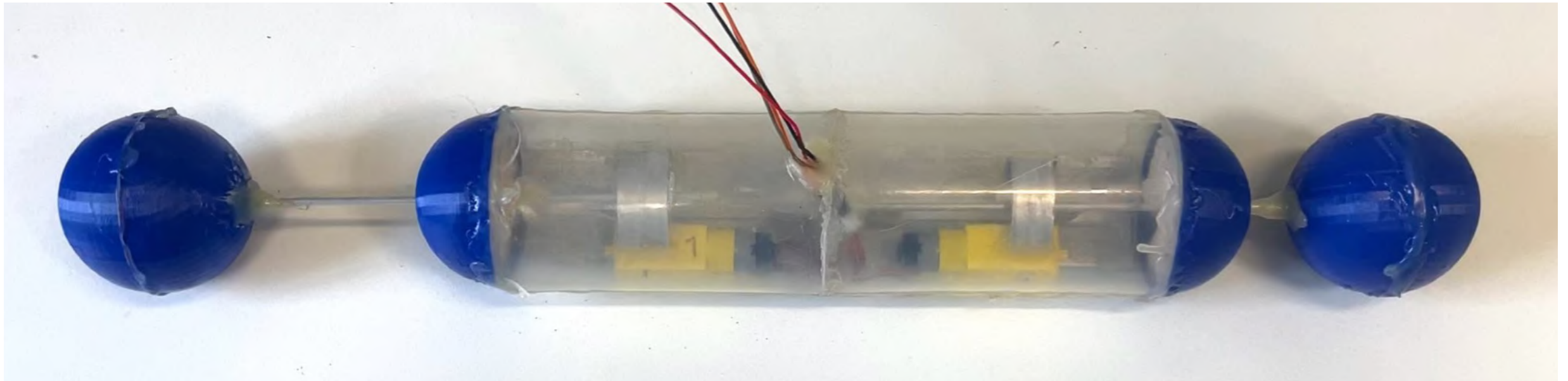
$$\vec{F}_{tr} = -6\pi\eta r \vec{v}$$

- Les distances entre les boules évoluent, avec des vitesses réglables



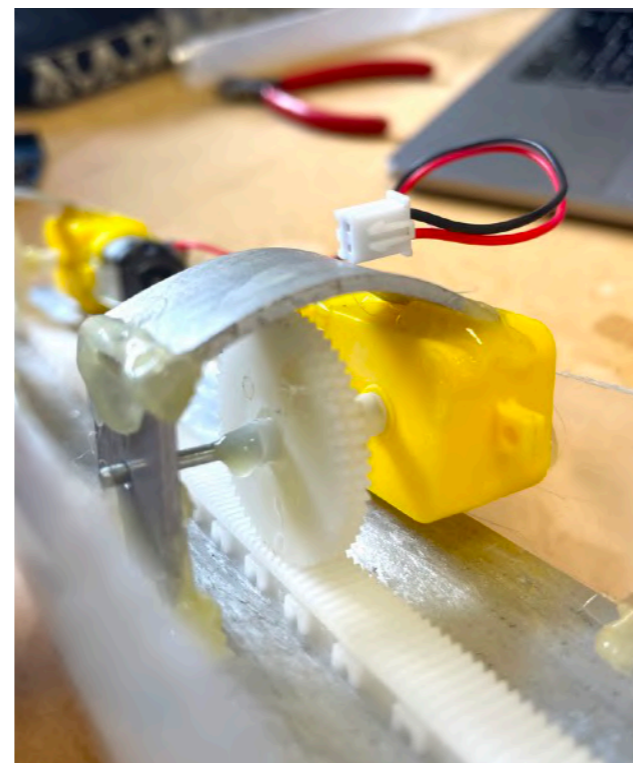
Robot 3 - Nageur de Najafi et Golestanian

Fabrication du nageur



Impression des boules en 3D

Pignon
crémaillère



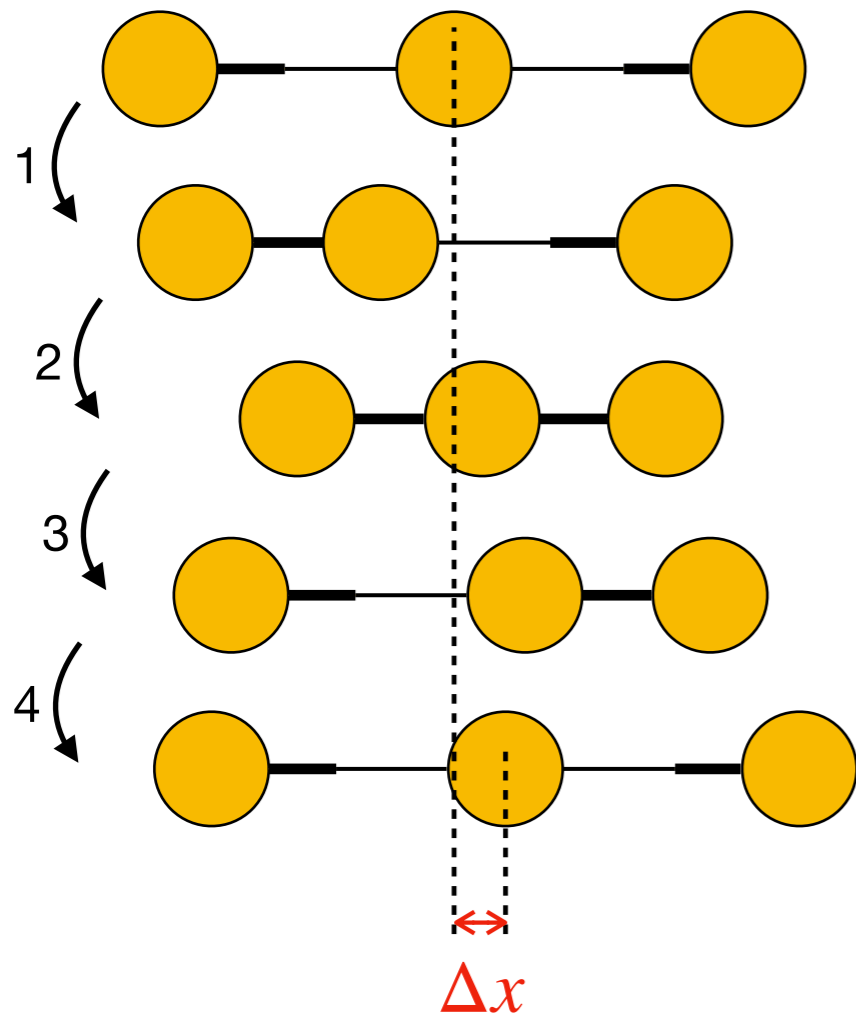
Fiche technique

- Longueur totale : 64 cm
- Masse (avec sable) :
 $m = 710 \text{ g}$
- Translation des boules
- Taille caractéristique :
 $L = 7 \text{ cm}$ (diamètre)
- Circuit électronique à l'extérieur

Robot 3 - Nageur de Najafi et Golestanian

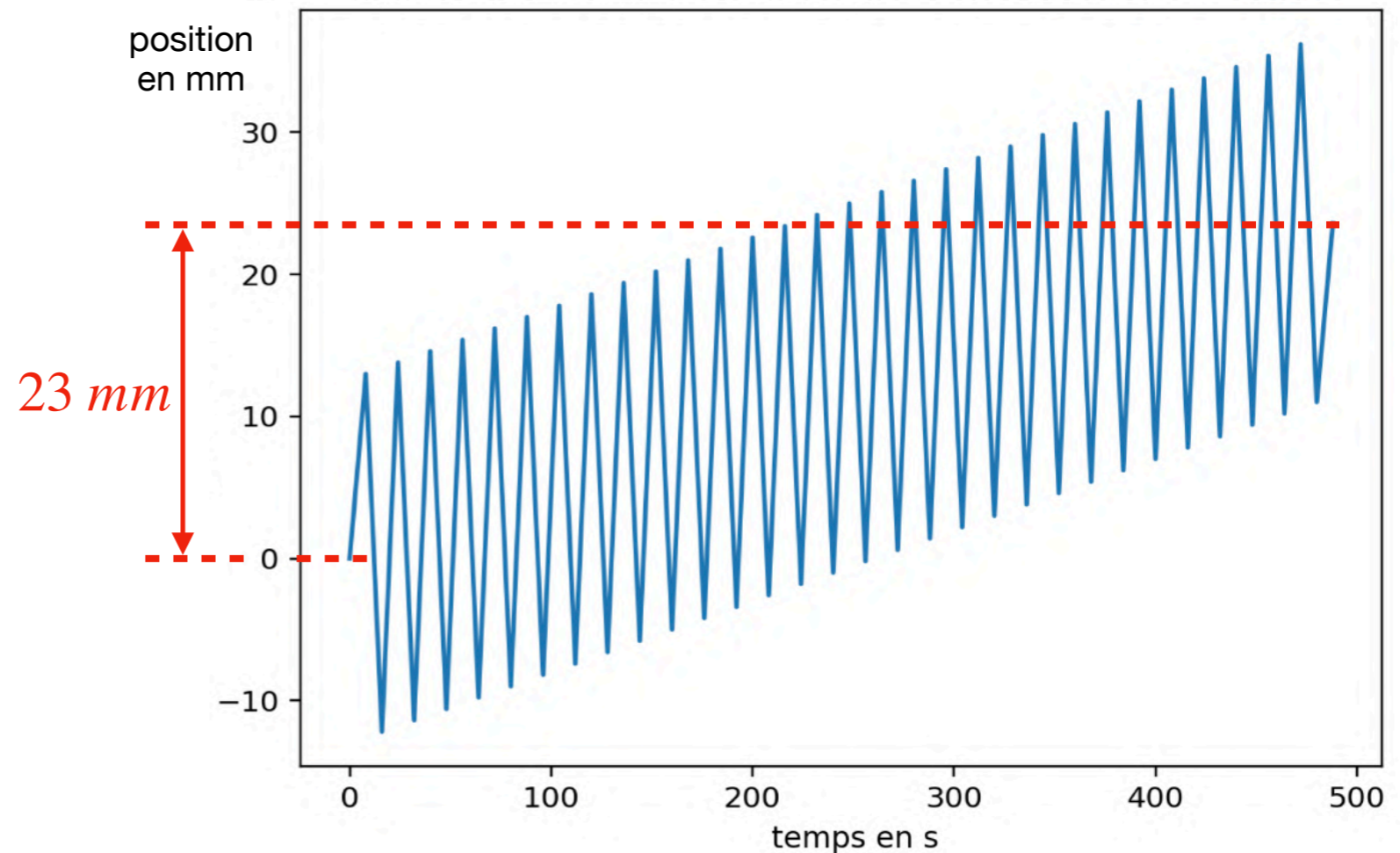
Approche théorique

On répète le cycle :



Simulation numérique

position de la partie centrale en fonction du temps



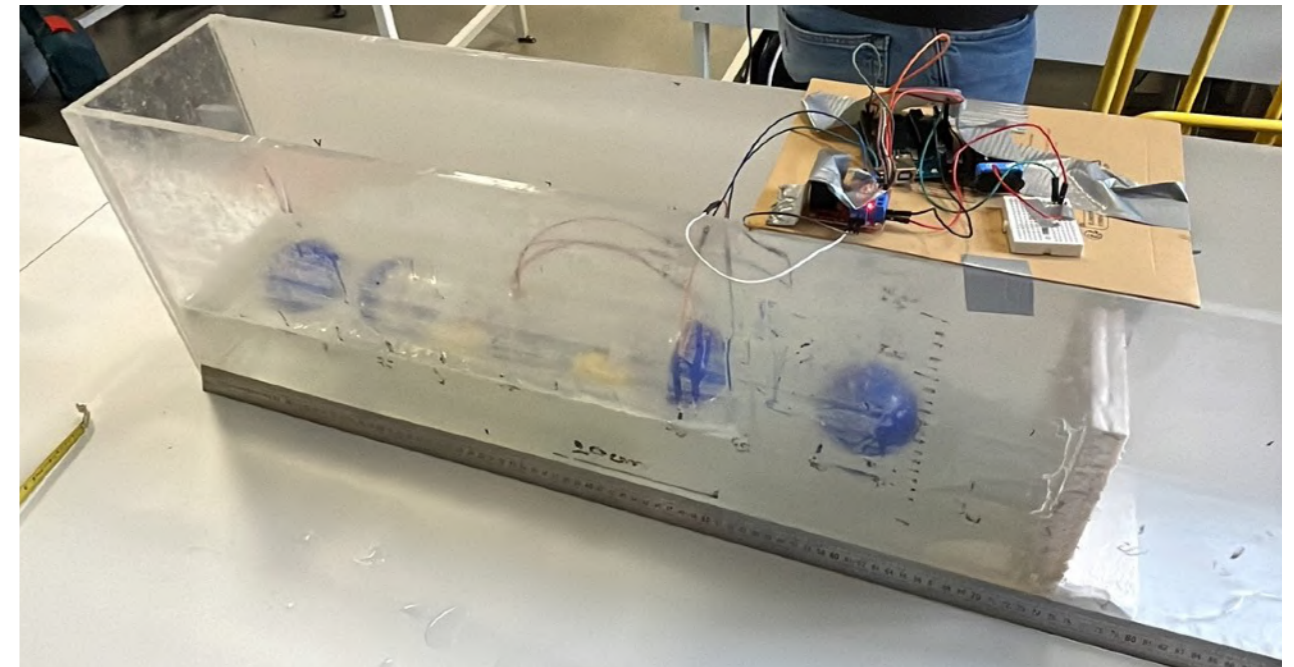
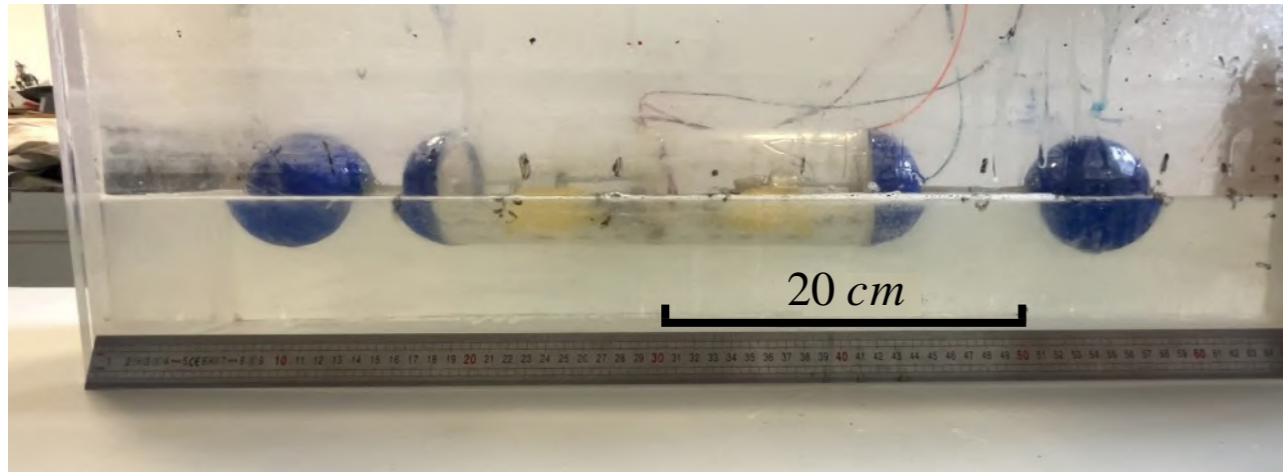
En théorie : Mouvement de translation

Avancée totale de 23 mm en 8 min pour 30 cycles

Robot 3 - Nageur de Najafi et Golestanian

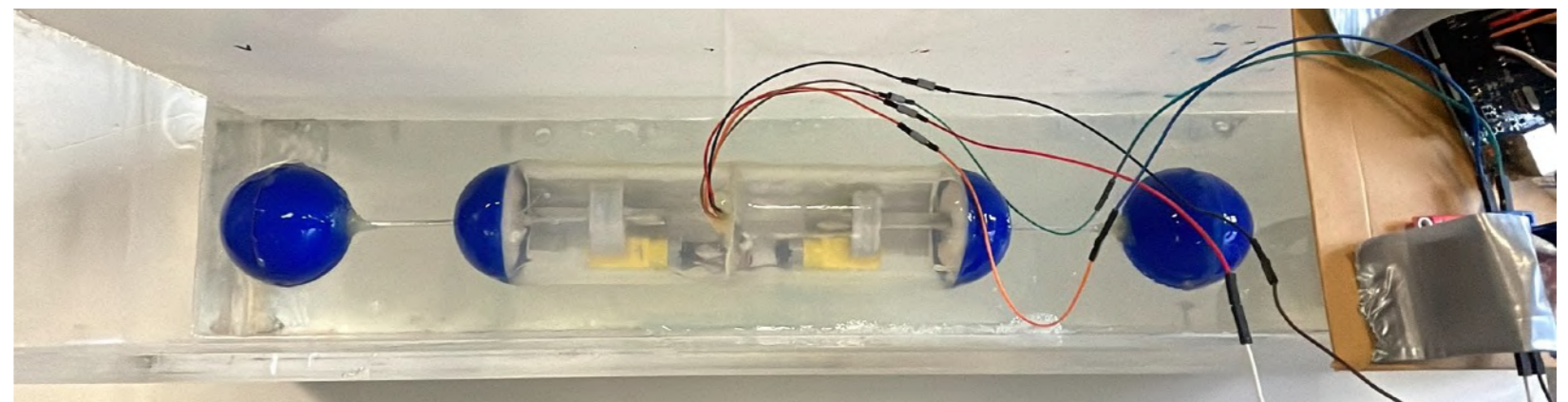
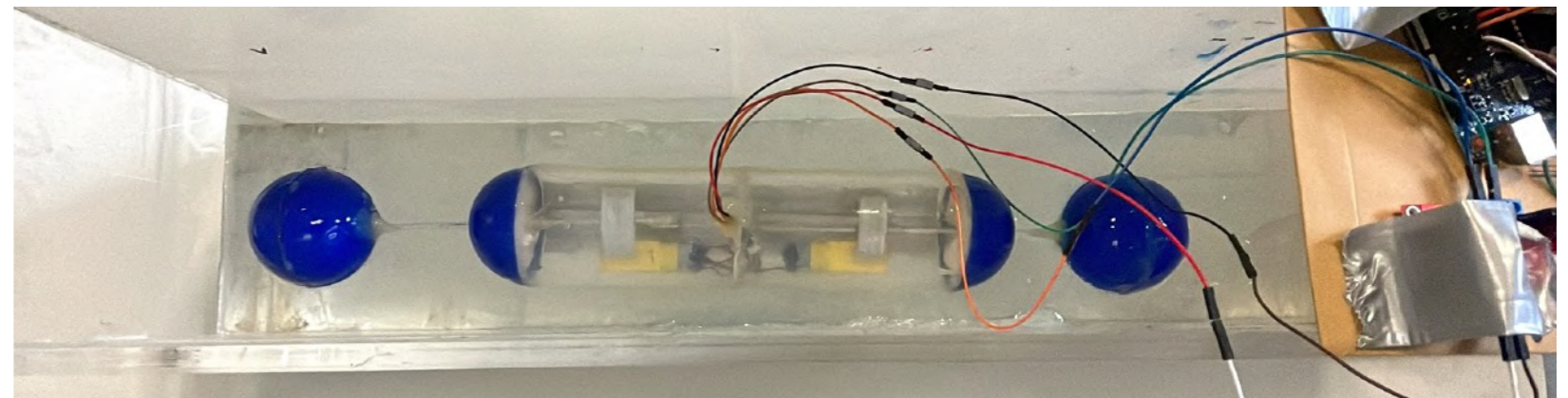
Expérimentation

Dispositif



Observation expérimentale :

- Très lent
- Problème : pas entièrement immergé
- Déplacement global de environ 1 cm en 12 min
- Contrôlable car translation rectiligne



Robot 3 - Nageur de Najafi et Golestanian

Comparaison théorie et expérimental

En théorie :	Expérimentalement :
<ul style="list-style-type: none"> - Avancée totale de 23 mm en 8 min - 30 cycles 	<ul style="list-style-type: none"> - Déplacement global de 10 mm environ en 12 min - Environ 45 cycles
Vitesse moyenne : $v_{théo} = 4,8 \cdot 10^{-5} \text{ m/s} = 2,9 \text{ mm/min}$ Nombre de Reynolds : $Re_{théo} = 8,7 \cdot 10^{-3} \approx 0,01$	Vitesse moyenne : $v_{exp} = 1,4 \cdot 10^{-5} \text{ m/s} = 0,8 \text{ mm/min}$ Nombre de Reynolds : $Re_{exp} = 2,5 \cdot 10^{-3} \approx 0,001$

Écart relatif :

$$ER = \frac{v_{théo} - v_{exp}}{v_{théo}} \cdot 100 = 71 \%$$

Conclusion

Annexes

Équation de Navier-Stokes

$$\rho \left[\underbrace{\frac{\partial \vec{v}}{\partial t}}_{\text{accélération locale}} + \underbrace{(\vec{v} \cdot \overrightarrow{\text{grad}})(\vec{v})}_{\text{accélération convective}} \right] = \underbrace{\rho \vec{g}}_{\text{pesanteur}} - \underbrace{\overrightarrow{\text{grad}}(P)}_{\text{résultante volumique des forces de pression}} + \underbrace{\eta \overrightarrow{\Delta}(\vec{v})}_{\text{force volumique de viscosité}}$$

Simplification dans le cas du régime laminaire $Re < 2000$

Équation de Stokes

$$\rho \left[\frac{\partial \vec{v}}{\partial t} + \cancel{(\vec{v} \cdot \overrightarrow{\text{grad}})(\vec{v})} \right] = \rho \vec{g} - \overrightarrow{\text{grad}}(P) + \eta \overrightarrow{\Delta}(\vec{v})$$

P : pression

\vec{v} : vitesse d'écoulement

ρ : masse volumique du fluide

η : viscosité dynamique ($Pa \cdot s$)

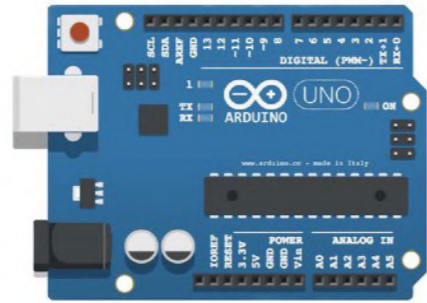
\vec{g} : pesanteur

Chaîne d'information

Ordinateur



Carte Arduino UNO



Ordres

Stocker

Pile 9V



Alimenter

Adaptateur et fils



Distribuer

Hacheur
(module L298N)



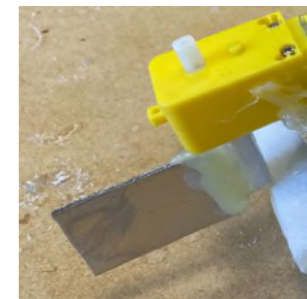
Convertir

Moteur
(courant continu)



Transmettre et agir

Palettes



Chaîne d'énergie

Palettes sans mouvement

Agitation des palettes

Calcul de la viscosité

Principe fondamental de la dynamique

$$m \frac{d\vec{v}}{dt} = \vec{P} + \vec{\Pi} + \vec{F}_{tr}$$

$$\rho_b V_b \frac{d\vec{v}}{dt} = \rho_b V_b \vec{g} - \rho_f V_b \vec{g} - 6\pi\eta r \vec{v}$$

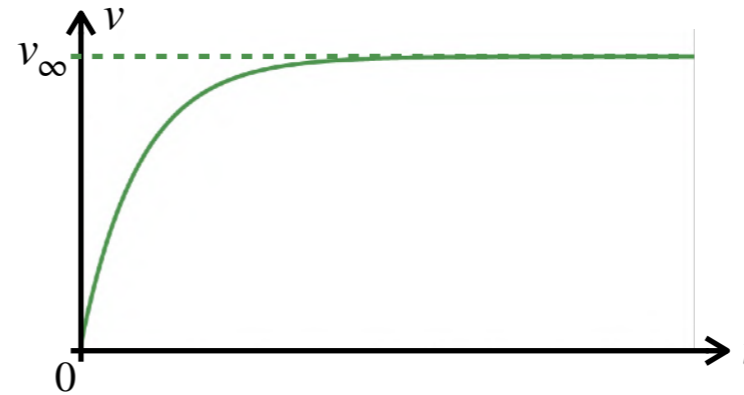
$$\rho_b V_b \frac{dv}{dt} = -\rho_b V_b g + \rho_f V_b g + 6\pi\eta r v$$

$$\vec{P} = m\vec{g}$$

$$\vec{F}_{tr} = -6\pi\eta r \vec{v}$$

$$\vec{\Pi} = -\rho_f V_b \vec{g}$$

$$\vec{v} = -v \vec{u}_z \text{ avec } v > 0$$



Au bout de quelques instants : $\frac{dv}{dt} = 0$ et $v = v_\infty = cte$

$$6\pi\eta r v_\infty = (\rho_b - \rho_f) V_b g$$

$$\eta = \frac{(\rho_b - \rho_f) V_b g}{6\pi r v_\infty} = \frac{(\rho_b - \rho_f) 4\pi r^3 g}{3 \cdot 6\pi r v_\infty}$$

$$\eta = \frac{2(\rho_b - \rho_f) r^2 g}{9 v_\infty}$$

v : vitesse de la bille

ρ_f : masse volumique du fluide

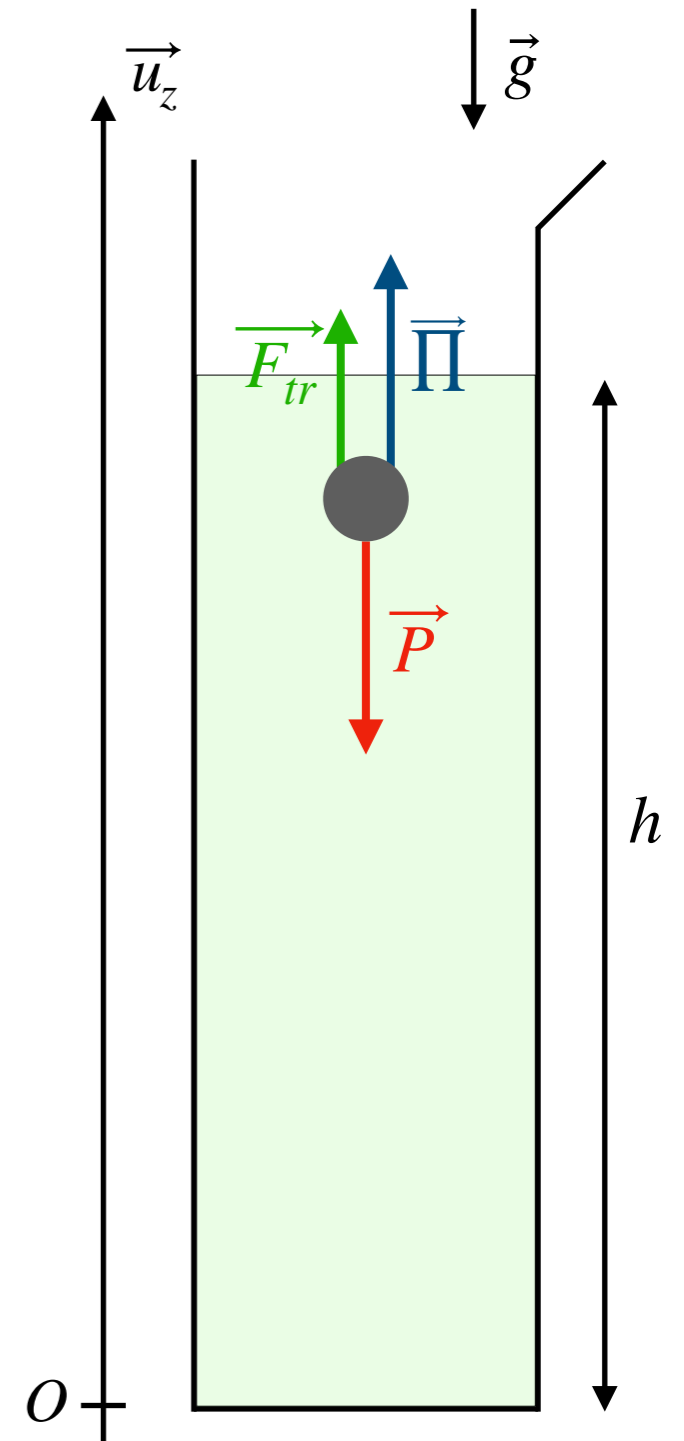
ρ_b : masse volumique de la bille

m : masse de la bille

V_b : volume de la bille

g : pesanteur

r : rayon de la bille



Annexe 4 : Calcul de l'incertitude sur la mesure de la viscosité

Principe du calcul - Incertitudes de type B

- Calcul des incertitudes sur chacune des grandeurs qui interviennent dans η
- Utilisation des formules pour l'incertitude d'une somme, d'un produit et d'un quotient :

$$u(x + y) = \sqrt{u(x)^2 + u(y)^2} \quad u(x \cdot y) = \sqrt{y^2 u(x)^2 + x^2 u(y)^2}$$

$$\eta = \frac{2(\rho_b - \rho_f) r^2 g}{9 v_\infty}$$

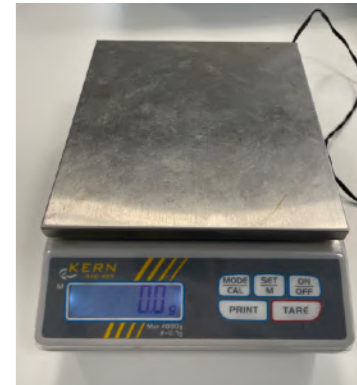
$$u\left(\frac{x}{y}\right) = \sqrt{\frac{u(x)^2}{y^2} + \frac{x^2 u(y)^2}{y^4}}$$

Incertitude sur la masse volumique

- Méthode de mesure : burette graduée de volume 100 ml et mesure de la masse de fluide

$$\rho = \frac{m}{V} \quad \Delta_V = 1 \text{ ml} \text{ donc } u(V) = 0,58 \text{ ml} = 0,58 \cdot 10^{-3} \text{ l}$$
$$\Delta_m = 0,1 \text{ g} \text{ donc } u(m) = 0,058 \text{ g} = 5,8 \cdot 10^{-5} \text{ kg}$$

Mesures pour le liquide vaisselle : $V = 100,00 \pm 0,58 \text{ ml}$ D'où $\rho_f = 1027,00 \pm 5,98 \text{ g/l}$
 $m = 102,700 \pm 0,058 \text{ g}$ De même $\rho_b = 1190,00 \pm 7,89 \text{ kg/m}^3$



Incertitude sur r

$$\Delta_r = 0,05 \text{ mm} \text{ donc } u(r) = 0,03 \text{ mm}$$

$$\text{Mesures : } r = 4,10 \pm 0,03 \text{ mm} \quad r^2 = 16,81 \pm 0,17 \text{ mm}^2$$



Pied à coulisse à vernier

Incertitude sur position z et vitesse v_∞ sur logiciel de pointage

$$\Delta_z = 0,5 \text{ mm} \text{ donc } u(z) = 0,3 \text{ mm}$$

$$u(dz) = 0,42 \text{ mm} \quad u(v_\infty) = 1,68 \text{ mm/s} \quad v_\infty = \frac{dz}{dt}$$

$$\text{Mesures : } dz = 5,10 \pm 0,42 \text{ mm} \quad dt = 0,25 \text{ s}$$

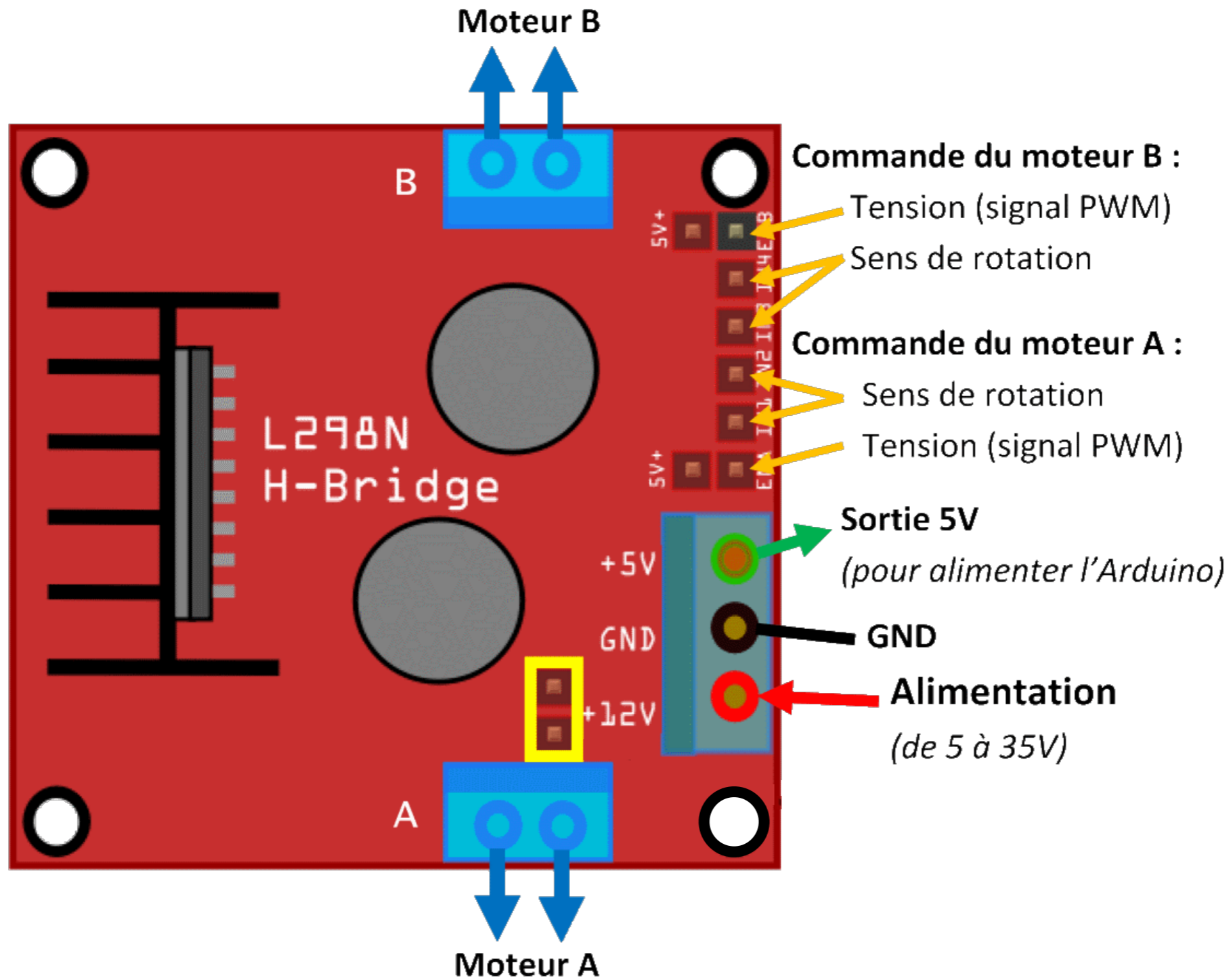
$$v_\infty = 20,40 \pm 1,68 \text{ mm/s}$$

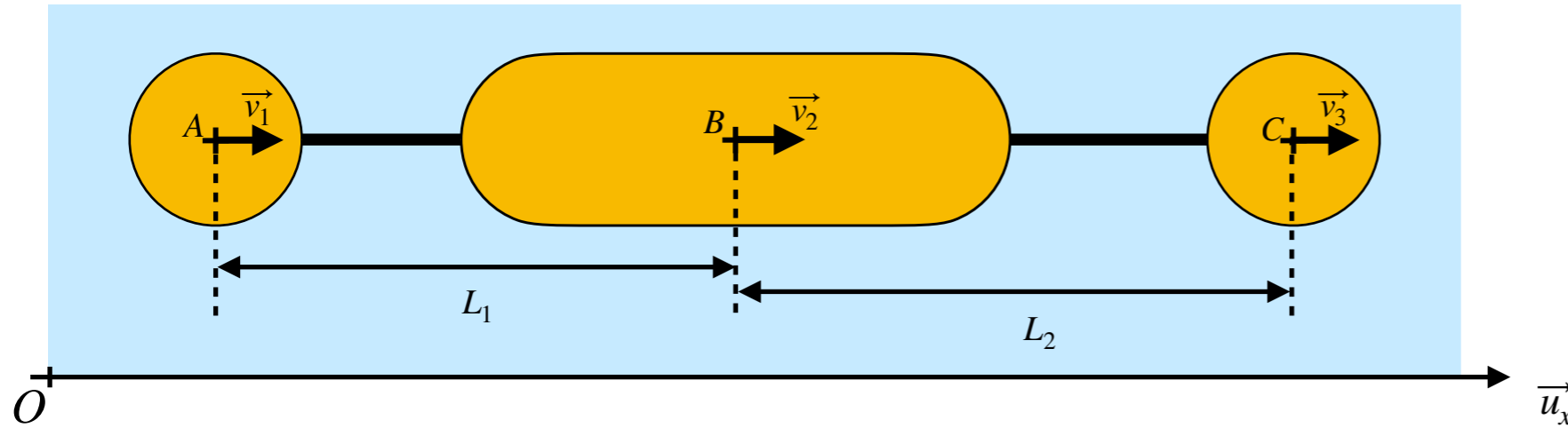
Incertitude sur la viscosité

$$\eta = 0,29 \pm 0,03 \text{ Pl}$$

```
from math import *  
  
def incertitude_produit(x,ux,y,uy):  
    return (x*y, sqrt((y*ux)**2+(x*uy)**2))  
  
def incertitude_quotient(x,ux,y,uy):  
    return (x/y, (x/y)*sqrt((ux/x)**2+(uy/y)**2))  
  
def incertitude_somme(x,ux,y,uy):  
    return (x+y, sqrt(ux**2+uy**2))
```

Annexe 5 : Fonctionnement du hacheur (module L298N) pour deux moteurs





Utilisation des tenseurs de mobilité M_{ij}

Prise en compte de la mobilité des sphères individuelles (formule de Stokes)

Prise en compte d'un terme d'interaction (qui caractérise comment la force qui s'exerce sur une sphère influence la vitesse d'une autre)

Formulation matricielle des mobilités et interactions entre sphères

$$\begin{pmatrix} v_1 \\ v_2 \\ v_3 \end{pmatrix} = \begin{pmatrix} M_{11} & M_{12} & M_{13} \\ M_{21} & M_{22} & M_{23} \\ M_{31} & M_{32} & M_{33} \end{pmatrix} \begin{pmatrix} F_1 \\ F_2 \\ F_3 \end{pmatrix}$$

M_{ii} : tenseurs de mobilité des sphères individuelles
 M_{ij} : tenseurs d'interaction

Système équivalent :

$$\begin{cases} v_1 = -\frac{1}{6\pi\eta r}F_1 - \frac{1}{3\pi\eta L_1}F_2 - \frac{1}{3\pi\eta(L_1+L_2)}F_3 \\ v_2 = -\frac{1}{3\pi\eta L_1}F_1 - \frac{1}{6\pi\eta r}F_2 - \frac{1}{3\pi\eta L_2}F_3 \\ v_3 = -\frac{1}{3\pi\eta(L_1+L_2)}F_1 - \frac{1}{3\pi\eta L_2}F_2 - \frac{1}{6\pi\eta r}F_3 \end{cases}$$

$M_{ii} = -\frac{1}{6\pi\eta r}$ $M_{ij} = -\frac{1}{3\pi\eta d_{ij}}$ avec d_{ij} la distance entre sphères i et j

Ajout de 3 équations pour trouver les 6 inconnues

$$\begin{cases} F_1 + F_2 + F_3 = 0 & \text{Inertie totale négligée} \\ -v_1 + v_2 = \dot{L}_1 & \text{Vitesse d'élongation de la tige gauche} \\ -v_2 + v_3 = \dot{L}_2 & \text{Vitesse d'élongation de la tige droite} \end{cases}$$

Problème matriciel final :

$$\begin{pmatrix} 1 & 0 & 0 & \frac{1}{6\pi\eta r} & \frac{1}{3\pi\eta L_1} & \frac{1}{3\pi\eta(L_1+L_2)} \\ 0 & 1 & 0 & \frac{1}{3\pi\eta L_1} & \frac{1}{6\pi\eta r} & \frac{1}{3\pi\eta L_2} \\ 0 & 0 & 1 & \frac{1}{3\pi\eta(L_1+L_2)} & \frac{1}{3\pi\eta L_2} & \frac{1}{6\pi\eta r} \\ 0 & 0 & 0 & 1 & 1 & 1 \\ -1 & 1 & 0 & 0 & 0 & 0 \\ 0 & -1 & 1 & 0 & 0 & 0 \end{pmatrix} \begin{pmatrix} v_1 \\ v_2 \\ v_3 \\ F_1 \\ F_2 \\ F_3 \end{pmatrix} = \begin{pmatrix} 0 \\ 0 \\ 0 \\ 0 \\ \dot{L}_1 \\ \dot{L}_2 \end{pmatrix}$$

Annexe 7 : Programme simulation numérique en Python

```
def matriceA (L1,L2):
    matA = numpy.array([[1,0,0,1/(6*pi*eta*r),1/(3*pi*eta*L1),1/(3*pi*eta*(L1+L2))],
                        [0,1,0,1/(3*pi*eta*L1),1/(6*pi*eta*r),1/(3*pi*eta*L2)],
                        [0,0,1,1/(3*pi*eta*(L1+L2)),1/(3*pi*eta*L2),1/(6*pi*eta*r)],
                        [0,0,0,1,1,1],
                        [-1,1,0,0,0,0],
                        [0,-1,1,0,0,0]])

    return matA
```

```
def matriceB (dL1,dL2):
    matB = numpy.array([[0],[0],[0],[0],[dL1],[dL2]])
    return matB
```

```
def phase_1(L1,L1max,dL1,L2,L2max,dL2,a,b,c): #a, b et c les abscisses des points A, B et C
    tab_a=[]
    tab_b=[]
    tab_c=[]
    for j in range (N):
        matA = matriceA(L1,L2)
        matB = matriceB(-dL1,0)
        X=np.linalg.solve(matA,matB)
        L1 += dL1*delta_t
        v1 = X[0,0]
        v2 = X[1,0]
        v3 = X[2,0]
        a += v1*delta_t
        b += v2*delta_t
        c += v3*delta_t
        tab_a += [a]
        tab_b += [b]
        tab_c += [c]
    return tab_a, tab_b, tab_c, L1, L2
```

```
def phase_2(L1,L1max,dL1,L2,L2max,dL2,a,b,c):
    tab_a=[]
    tab_b=[]
    tab_c=[]
    for j in range (N):
        matA = matriceA(L1,L2)
        matB = matriceB(0,-dL2)
        X=np.linalg.solve(matA,matB)
        L2 += dL2*delta_t
        v1 = X[0,0]
        v2 = X[1,0]
        v3 = X[2,0]
        a += v1*delta_t
        b += v2*delta_t
        c += v3*delta_t
        tab_a += [a]
        tab_b += [b]
        tab_c += [c]
    return tab_a, tab_b, tab_c, L1, L2
```

```
def phase_3(L1,L1max,dL1,L2,L2max,dL2,a,b,c):
    tab_a=[]
    tab_b=[]
    tab_c=[]
    for j in range (N):
        matA = matriceA(L1,L2)
        matB = matriceB(dL1,0)
        X=np.linalg.solve(matA,matB)
        L1 -= dL1*delta_t
        v1 = X[0,0]
        v2 = X[1,0]
        v3 = X[2,0]
        a += v1*delta_t
        b += v2*delta_t
        c += v3*delta_t
        tab_a += [a]
        tab_b += [b]
        tab_c += [c]
    return tab_a, tab_b, tab_c, L1, L2
```

```
def phase_4(L1,L1max,dL1,L2,L2max,dL2,a,b,c):
    tab_a=[]
    tab_b=[]
    tab_c=[]
    for j in range (N):
        matA = matriceA(L1,L2)
        matB = matriceB(0,dL2)
        X=np.linalg.solve(matA,matB)
        L2 -= dL2*delta_t
        v1 = X[0,0]
        v2 = X[1,0]
        v3 = X[2,0]
        a += v1*delta_t
        b += v2*delta_t
        c += v3*delta_t
        tab_a += [a]
        tab_b += [b]
        tab_c += [c]
    return tab_a, tab_b, tab_c, L1, L2
```

```
def modélisation (L1min, L1max, dL1, L2min, L2max, dL2, a1, a2, a3, b, delta_t, N, T):
    L1 = L1min
    L2 = L2min
    a = b - L1
    c = b + L1
    tab1 = []
    tab2 = []
    tab3 = []
    tab_a = []
    tab_b = []
    tab_c = []
    tab_t = []
    for i in range (M): # M cycles
        tab1, tab2, tab3, L1, L2 = phase_1(L1, L1max, dL1, L2, L2max, dL2, a, b, c)
        tab_a += tab1
        tab_b += tab2
        tab_c += tab3
        a = tab_a[-1]
        b = tab_b[-1]
        c = tab_c[-1]
        tab1, tab2, tab3, L1, L2 = phase_2(L1, L1max, dL1, L2, L2max, dL2, a, b, c)
        tab_a += tab1
        tab_b += tab2
        tab_c += tab3
        a = tab_a[-1]
        b = tab_b[-1]
        c = tab_c[-1]
        tab1, tab2, tab3, L1, L2 = phase_3(L1, L1max, dL1, L2, L2max, dL2, a, b, c)
        tab_a += tab1
        tab_b += tab2
        tab_c += tab3
        a = tab_a[-1]
        b = tab_b[-1]
        c = tab_c[-1]
        tab1, tab2, tab3, L1, L2 = phase_3(L1, L1max, dL1, L2, L2max, dL2, a, b, c)
        tab_a += tab1
        tab_b += tab2
        tab_c += tab3
        a = tab_a[-1]
        b = tab_b[-1]
        c = tab_c[-1]
        tab_t += [i]
    print("avancée totale", b, 'm')
    x = [i*delta_t for i in range (len(tab_b))]
    y = [i for i in tab_b]
    plt.plot(x,y)
    plt.title('position de la partie centrale en fonction du temps')
    plt.xlabel('temps en s')
    plt.ylabel('position en mm')
    plt.show()
    plt.close()
```

```
modélisation(L1min, L1max, dL1, L2min, L2max, dL2, a1, a2, a3, b, delta_t, N, T)
```

Annexe 8 : Programme Arduino robot 1

```
1 // Moteur à courant continu avec hacheur L298N à deux sens de rotations .
2 // Alternance du sens de rotation du moteur
3
4 // Variables :
5 int enA = 10;
6 // variable qui gère la vitesse du moteur.
7 int in1 = 9;
8 // variable qui gère un des sens de rotation du moteur.
9 int in2 = 8;
10 // variable qui gère l'autre sens de rotation du moteur.
11
12 void setup () {
13 pinMode (enA,OUTPUT); // Les variables utilisées sont toutes des sorties
14 pinMode (in1, OUTPUT) ;
15 pinMode (in2, OUTPUT) ;
16
17
18 }
19 void loop() {
20 digitalWrite (in1, HIGH) ; // Arduino envoie un courant dans la broche in1 (PIN 9). Le moteur tourne dans le sens de rotation de in1.
21 digitalWrite (in2, LOW) ;
22 analogWrite (enA, 255) ; // vitesse du moteur, valeur maximale : 255 (échelle comprise entre 0 et 255)
23 delay (200) ; // durée de la phase (200 ms = 0,2 s)
24
25 digitalWrite (in1, LOW) ; // le moteur est à l'arrêt pendant 10 ms
26 digitalWrite (in2, LOW) ;
27 delay (10) ;
28
29 digitalWrite (in1, LOW) ;
30 digitalWrite (in2, HIGH) ; // Arduino envoie un courant dans la broche in2 (PIN 8). Le moteur tourne dans le sens de rotation de in2.
31 analogWrite (enA, 255);
32 delay (200) ;
33
34 }
```

Annexe 9 : Programme Arduino robots 2 et 3

```
1 // Avec 2 moteurs
2
3 int enA = 10;
4 int enB = 5;
5
6 int in1 = 9;
7 int in2 = 8;
8 int in3 = 7;
9 int in4 = 6;
10
11
12 void setup () {
13 pinMode (enA,OUTPUT);
14 pinMode (enB,OUTPUT);
15
16 pinMode (in1, OUTPUT) ;
17 pinMode (in2, OUTPUT) ;
18 pinMode (in3, OUTPUT) ;
19 pinMode (in4, OUTPUT) ;
20 }
21
22 void loop() {
23 digitalWrite (in1, HIGH) ;
24 digitalWrite (in2, LOW) ;
25 digitalWrite (in3, LOW) ;
26 digitalWrite (in4, LOW) ;
27 analogWrite (enA, 30) ;
28 analogWrite (enB, 0) ;
29 delay (200) ;
30
31
32 digitalWrite (in1, LOW) ;
33 digitalWrite (in2, LOW) ;
34 digitalWrite (in3, LOW) ;
35 digitalWrite (in4, LOW) ;
36 delay (200) ;
37
38
39 digitalWrite (in1, LOW) ;
40 digitalWrite (in2, LOW) ;
41 digitalWrite (in3, HIGH) ;
42 digitalWrite (in4, LOW) ;
43 analogWrite (enA, 0);
44 analogWrite (enB, 30) ;
45 delay (200) ;
46
47 digitalWrite (in1, LOW) ;
48 digitalWrite (in2, LOW) ;
49 digitalWrite (in3, LOW) ;
50 digitalWrite (in4, LOW) ;
51 delay (200) ;
52
53
54 digitalWrite (in1, LOW) ;
55 digitalWrite (in2, HIGH) ;
56 digitalWrite (in3, LOW) ;
57 digitalWrite (in4, LOW) ;
58 analogWrite (enA, 30);
59 analogWrite (enB, 0) ;
60 delay (200) ;
61
62 digitalWrite (in1, LOW) ;
63 digitalWrite (in2, LOW) ;
64 digitalWrite (in3, LOW) ;
65 digitalWrite (in4, LOW) ;
66 delay (200) ;
67
68 digitalWrite (in1, LOW) ;
69 digitalWrite (in2, LOW) ;
70 digitalWrite (in3, LOW) ;
71 digitalWrite (in4, HIGH) ;
72 analogWrite (enA, 0) ;
73 analogWrite (enB, 30) ;
74 delay (200) ;
75
76 digitalWrite (in1, LOW) ;
77 digitalWrite (in2, LOW) ;
78 digitalWrite (in3, LOW) ;
79 digitalWrite (in4, LOW) ;
80 delay (200) ;
81
82 }
```